

第三ピークと終焉領域に対する実験的アプローチ

直接

- $(n, \gamma) - (\gamma, n)$ 平衡状態:
- γ -過程の経路
- 滞留核の寿命
- 第三ピーク形成に要する時間
- 定常流仮定:
温度 T と中性子数密度 N_n の相関



γ -過程はユニークな環境で記述できるか?

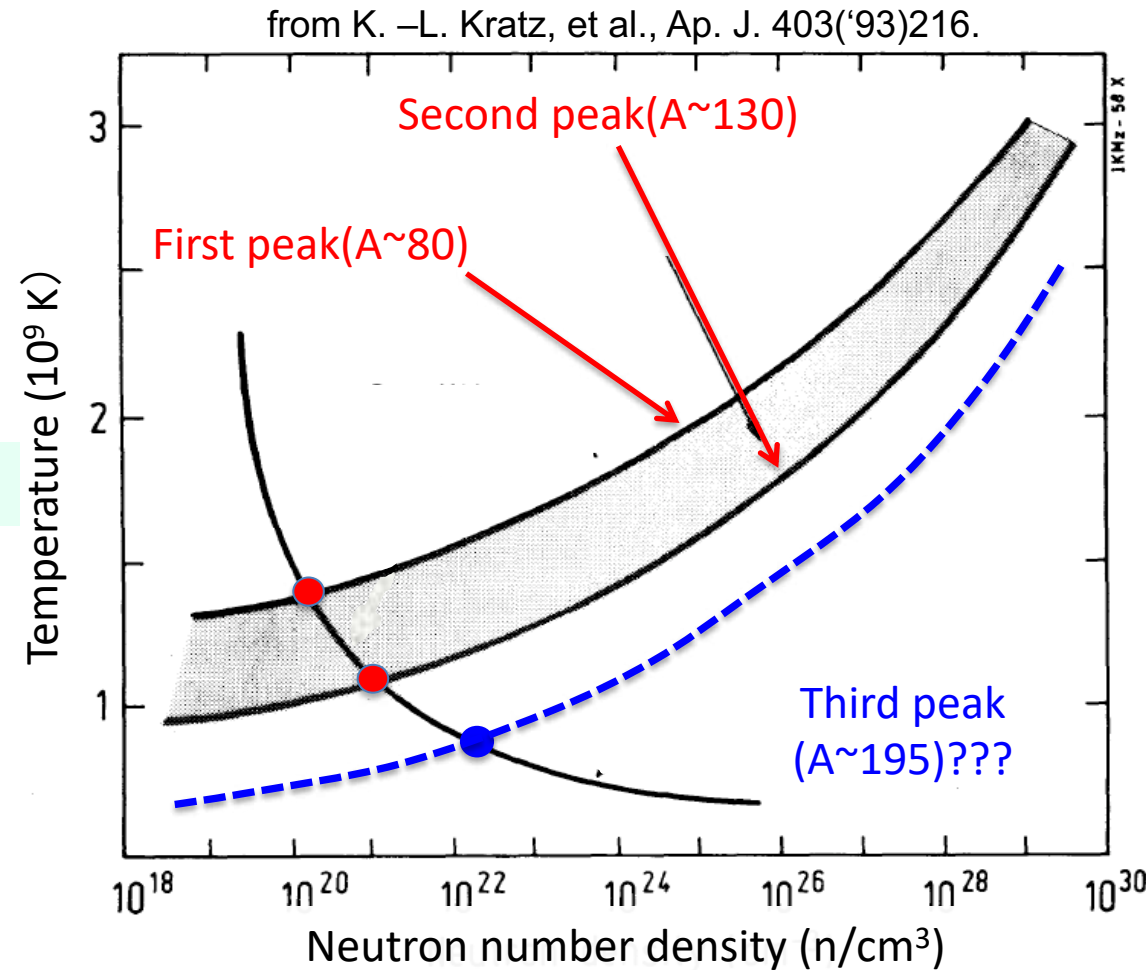
間接

- 初期中性子量 ($1 - Y_e$)
- 核分裂同位元素の生成率
- 滞留核領域の核構造
-



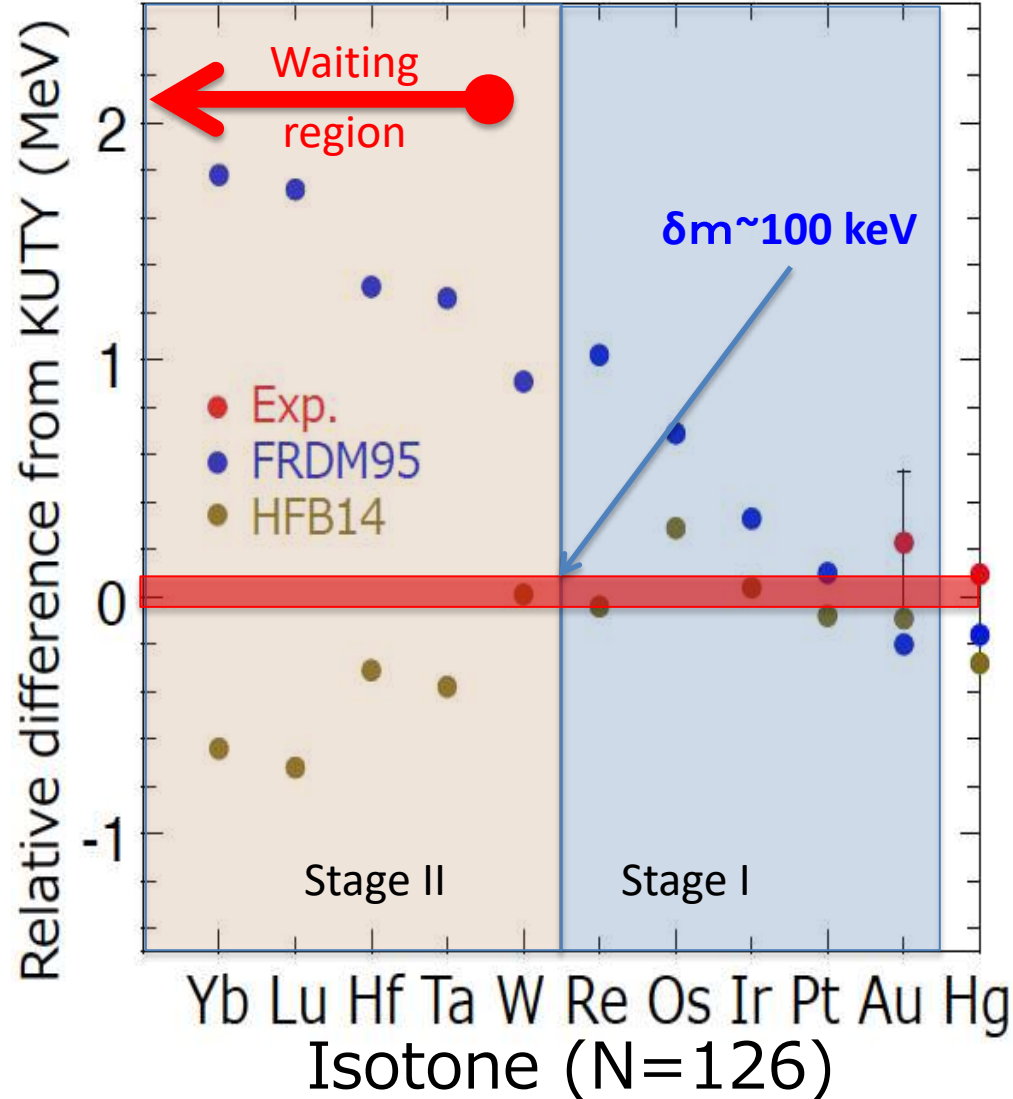
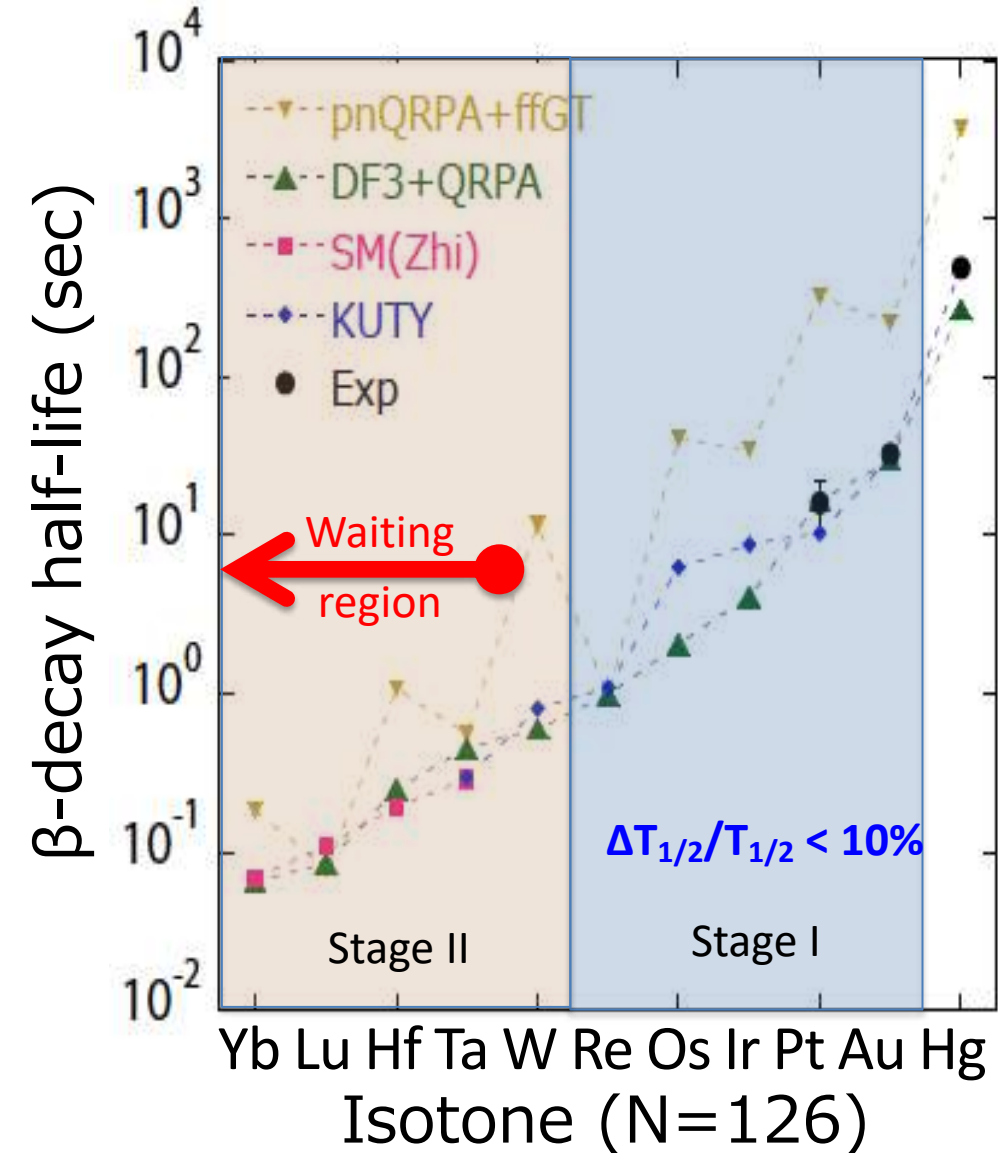
起源天体の特定 (CC-SNe, NSM, ...)

20190522-24 基研研究会「原子核物理でつむぐプロセス」
H. Miyatake, WnSC, IPNS, KEK



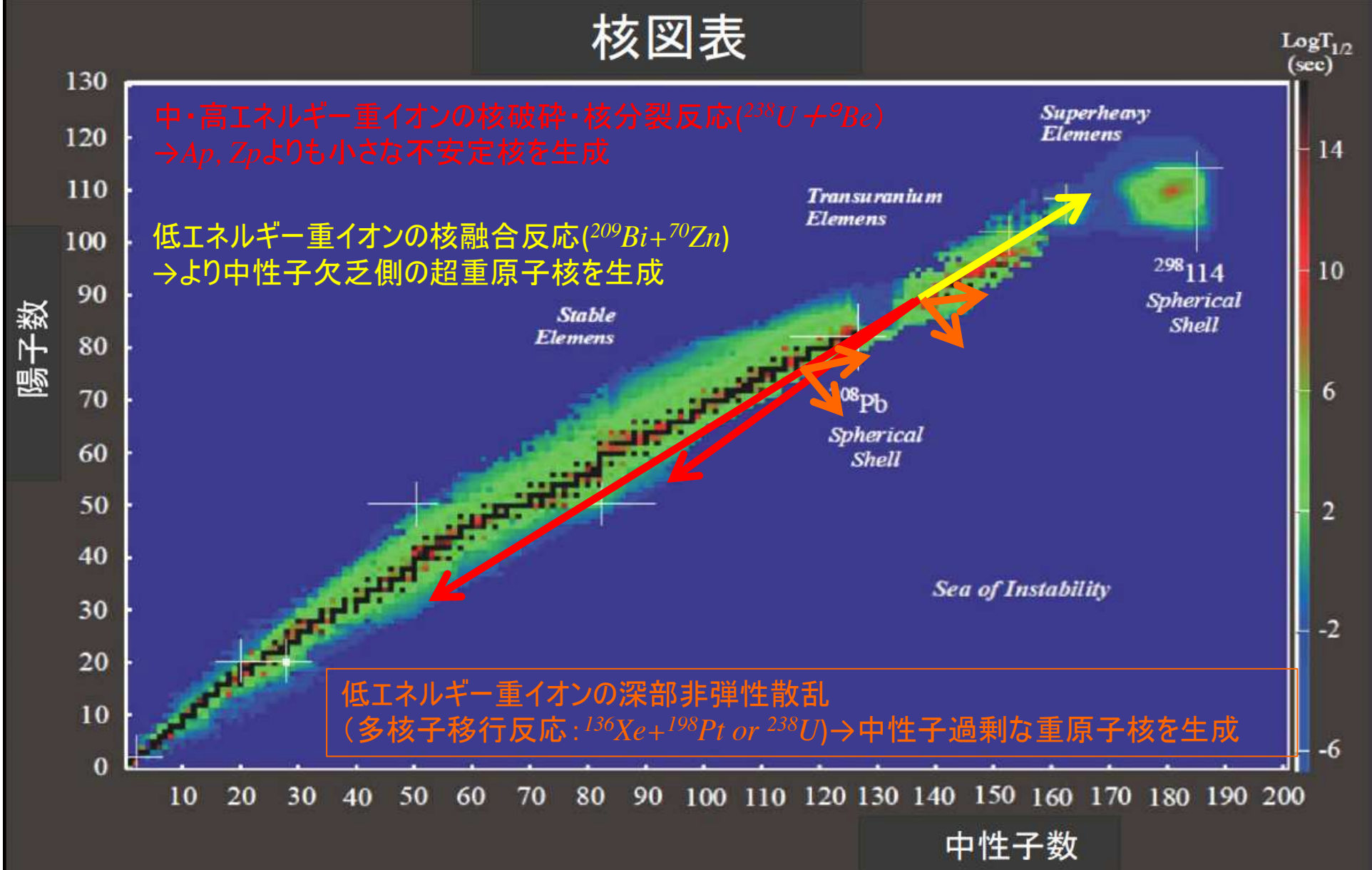
Uncertainty of lifetime & mass predictions in N=126 isotones

Stage I (~2020, ^{136}Xe , 250 pA) to Stage II (2021~, ^{238}U , up to 10 pμA)

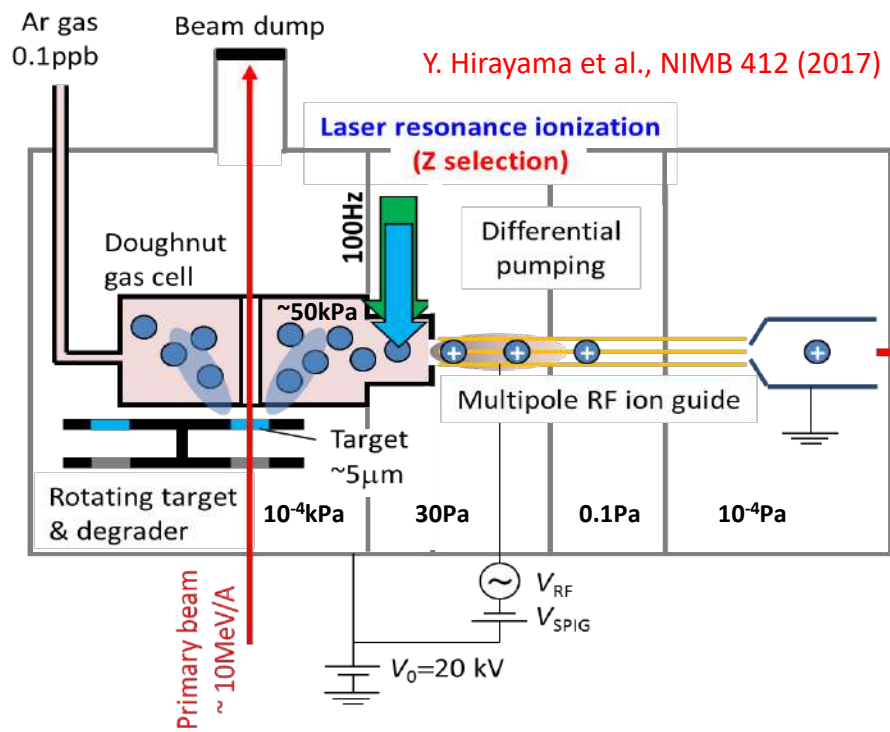


中性子過剰未知重原子核の生成法 -多核子移行反応のユニークさ-

核図表



KISS (KEK Isotope Separation System)



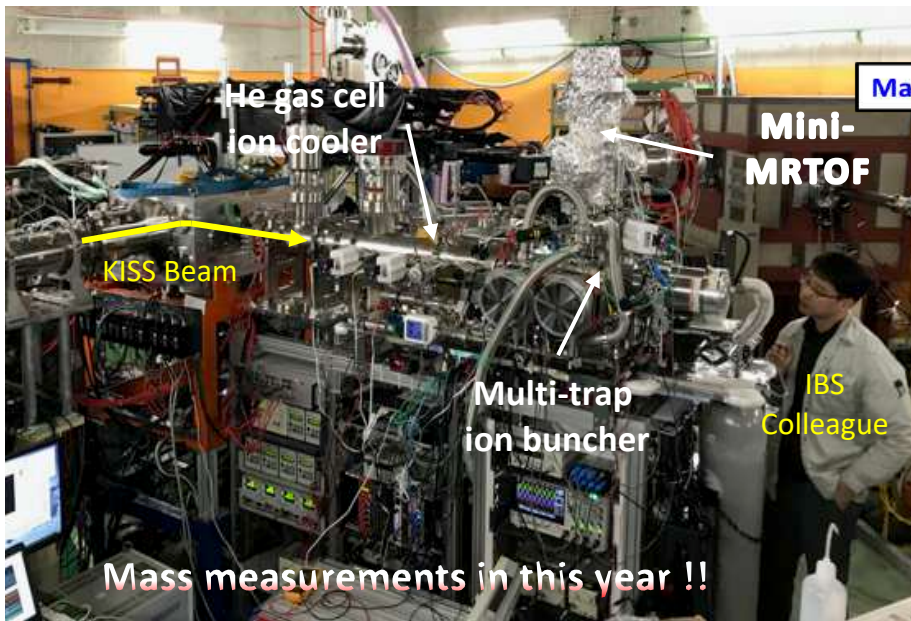
Dipole magnetic field (A selection)
 $M/\Delta M \sim 900$

Deflection electrode

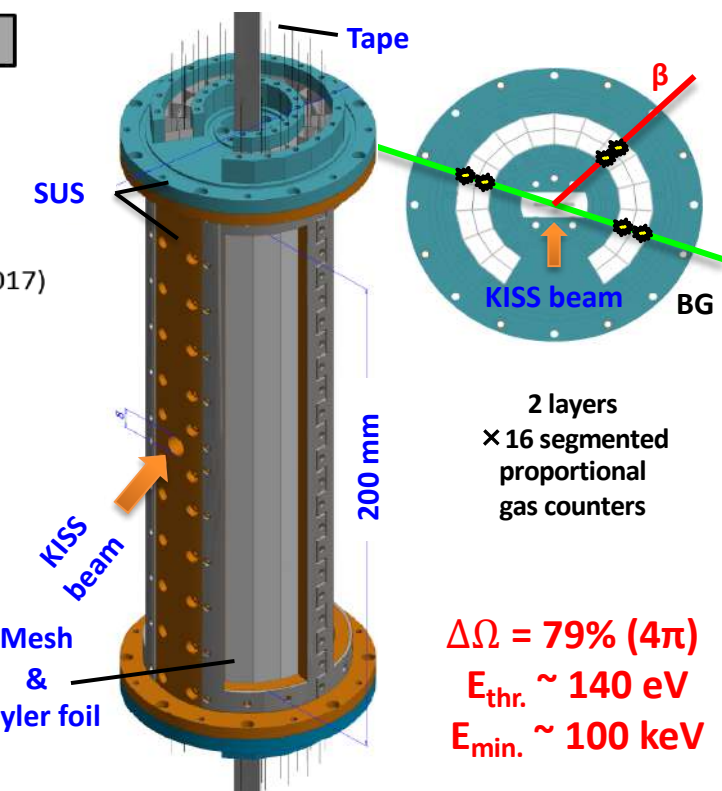
Decay measurement
Gas-detector Ge detector × 4

helium gas cell ion cooler
Multi-trap ion buncher
MRTOF-MS

Mass measurement (Installed in 2017)



M. Mukai et al., NIMA 884 (2018) 1-10.



Lifetime confirmation and decay spectroscopy

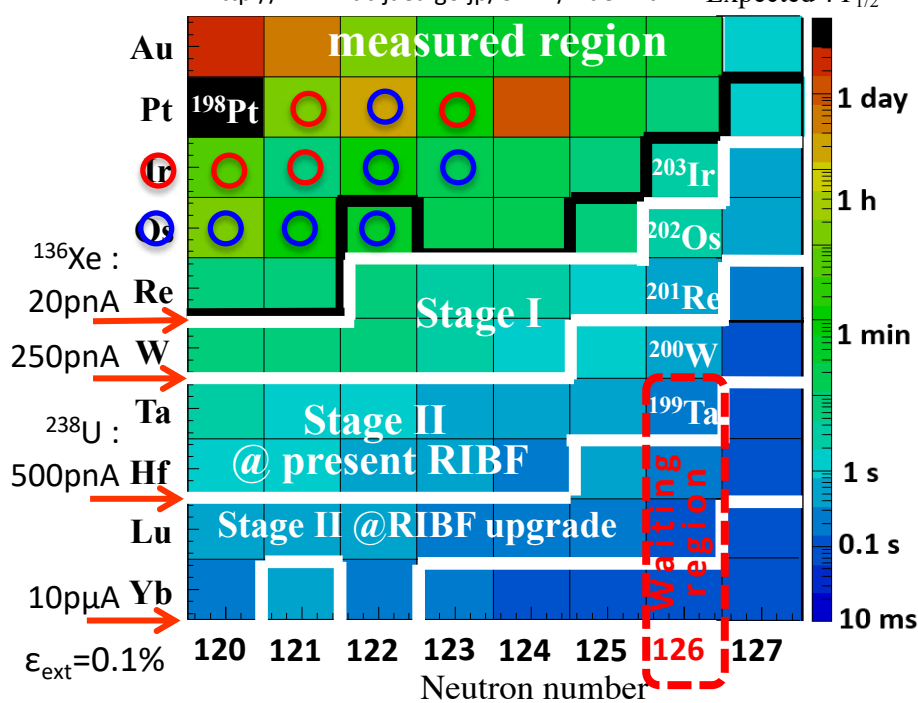
- Y. Hirayama: NP1512-RRC41 -



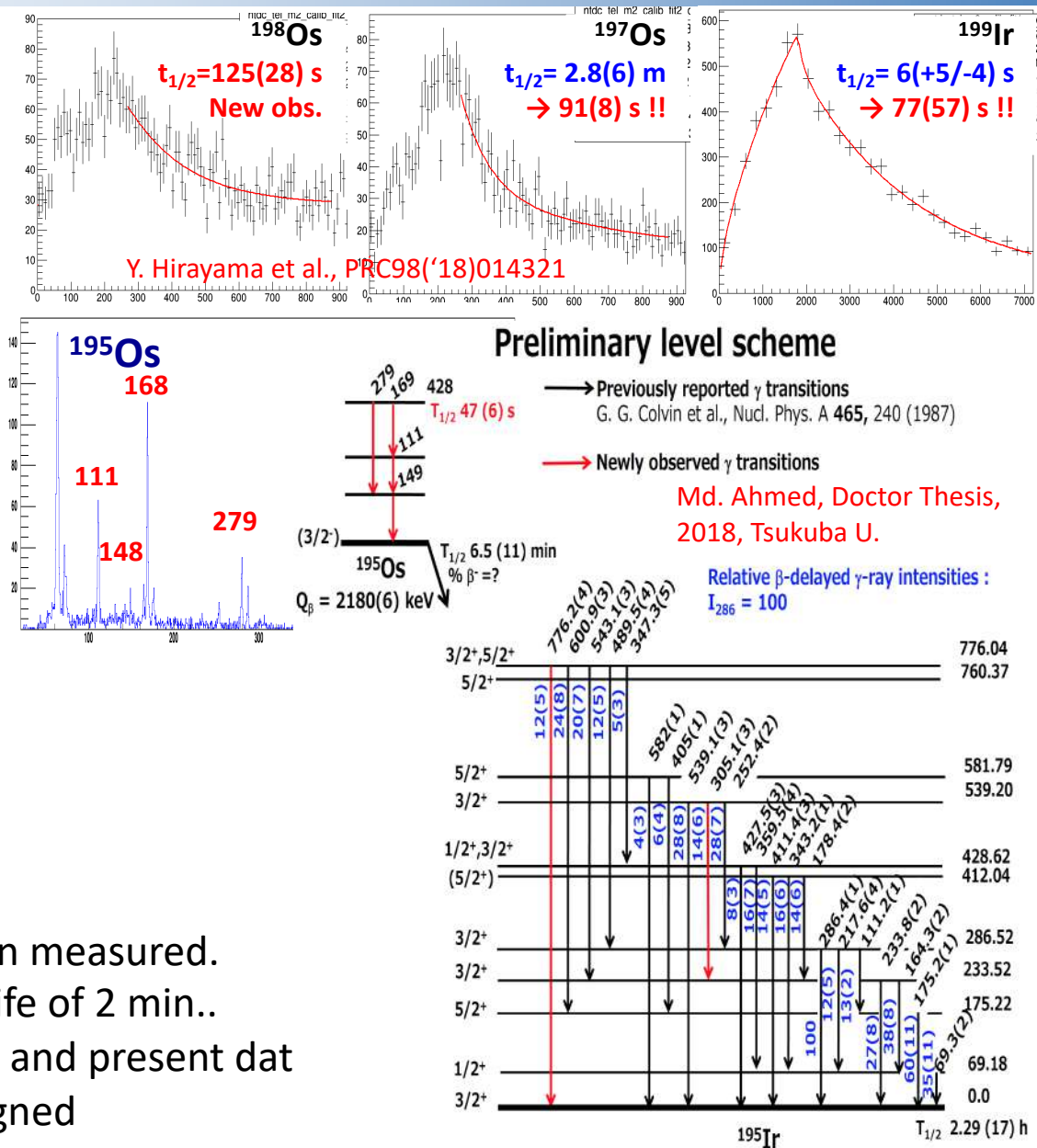
- Y. Hirayama, NP1512-RRC41: "Lifetime measurement of nuclei around N=126 using KISS" (2016~)

KUTY : H. Koura, et al.,

<http://wwwndc.jaea.go.jp/CN14/index.html> Expected : $T_{1/2}$

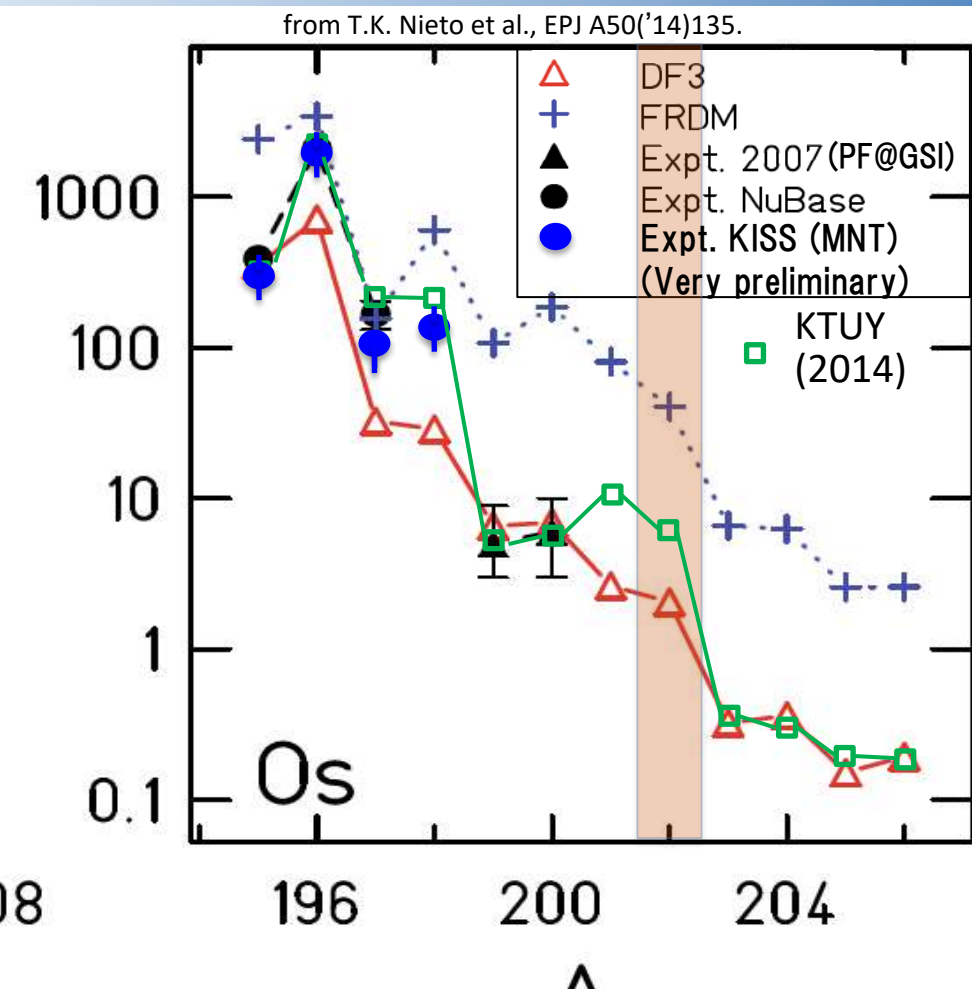
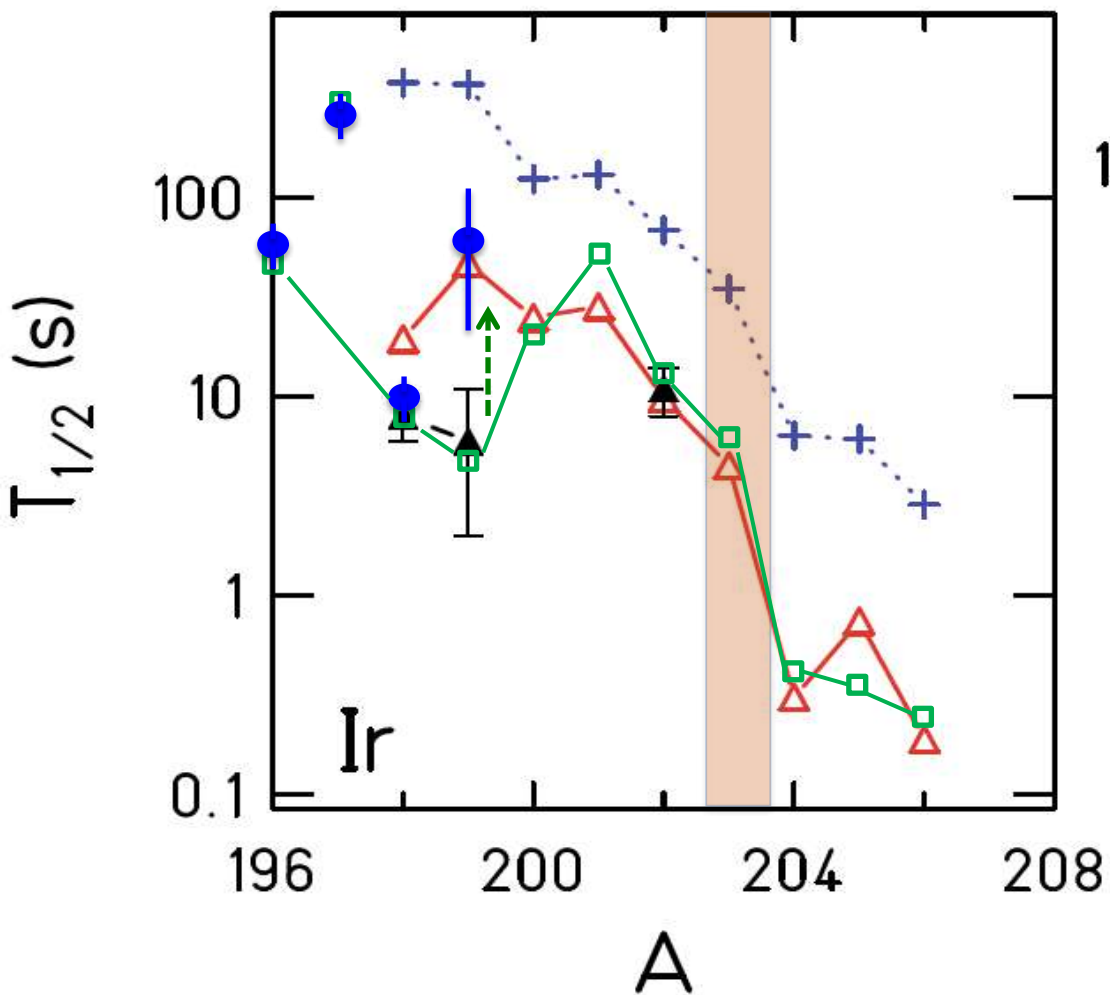


- 11 n-rich isotopes (Pt, Ir, and Os) have been measured.
- ^{198}Os has been newly identified with half-life of 2 min..
- Some discrepancies between the reported and present dat
- Some isomeric states would be newly assigned



Preliminary lifetime systematics of Ir and Os isotopes

WnSC
KEK Wako Nuclear Science Center

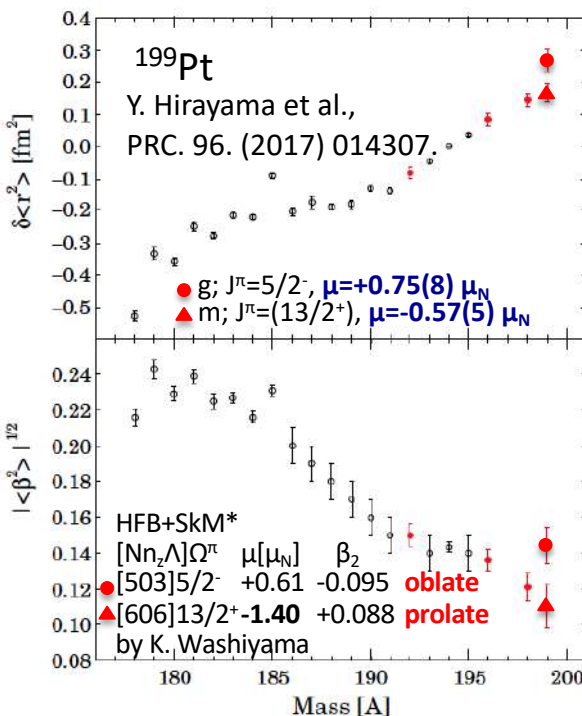


N<126: FF transitions are dominated.
 $\nu (3p_{1/2})$ or $\nu (3p_{3/2}) \rightarrow \pi (3s_{1/2})$ and $\nu (2f_{5/2})$ or $\nu (3p_{3/2}) \rightarrow \pi (2d_{3/2})$

- Measured half-lives of ^{199}Ir would become close to the DF3 and KTUY predictions.
- Newly obtained half-life of $^{197-8}\text{Os}$ would be longer than the DF3 by a factor around 2-3.

Laser spectroscopy

of n-rich isotopes in non-volatile elements

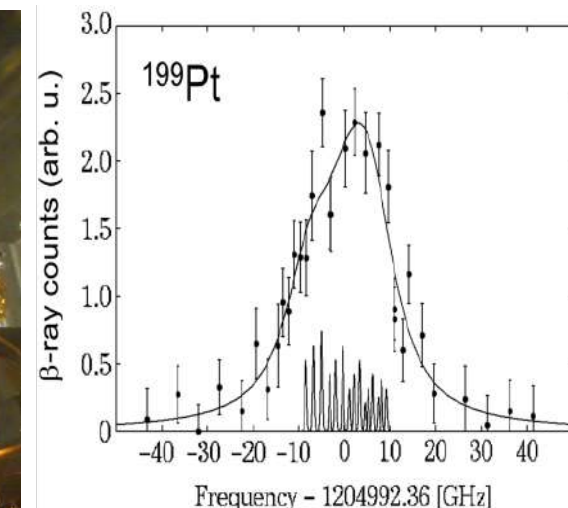
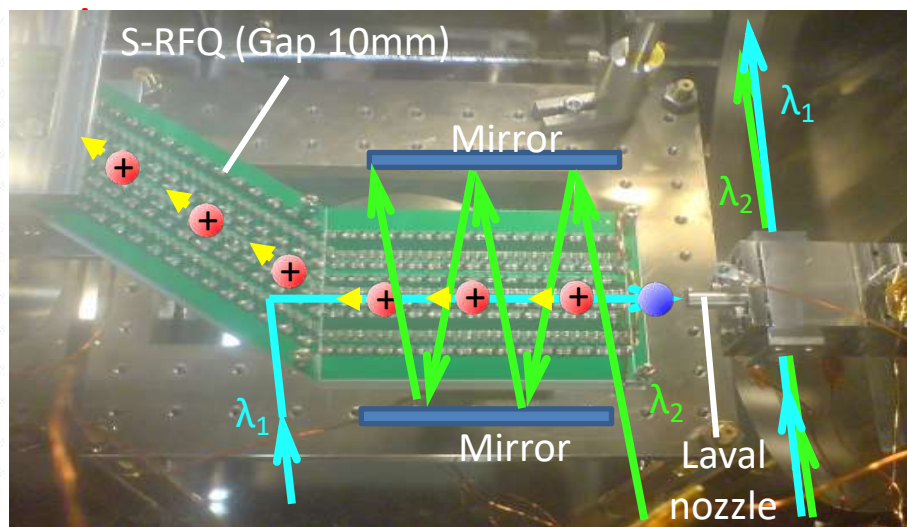


▪ In-gas-cell(~2017) to In-gas-jet laser spectroscopy (2018~):

→ effective laser ionization with high frequency narrow band laser

→ reducing Doppler and Pressure broadening to $1/10 \sim 1/40$: total width $\delta\nu \sim 0.3$ GHz

→ Precise HFS measurement: + quadrupole moment and spin/parity



Proton Number

78(Pt)	M	M	M	MQ	MQ	MQ	M	M	M	M*	M*		
77(Ir)	MQ	M*	M*	M*									
76(Os)			MQ		M	MQ	MQ	MQ	MQ				
75(Re)	M	M	M	MQ	MQ	MQ	MQ	MQ	MQ				
74(W)				M	M	M							
73(Ta)			MQ	MQ	M								
72(Hf)	MQ	MQ											

≥ 5x10⁸ y
 ≥ 30 days
 ≥ 10 min
 < 10 min

M : Magnetic dipole moment is known.

Q : Electric quadrupole moment is known.

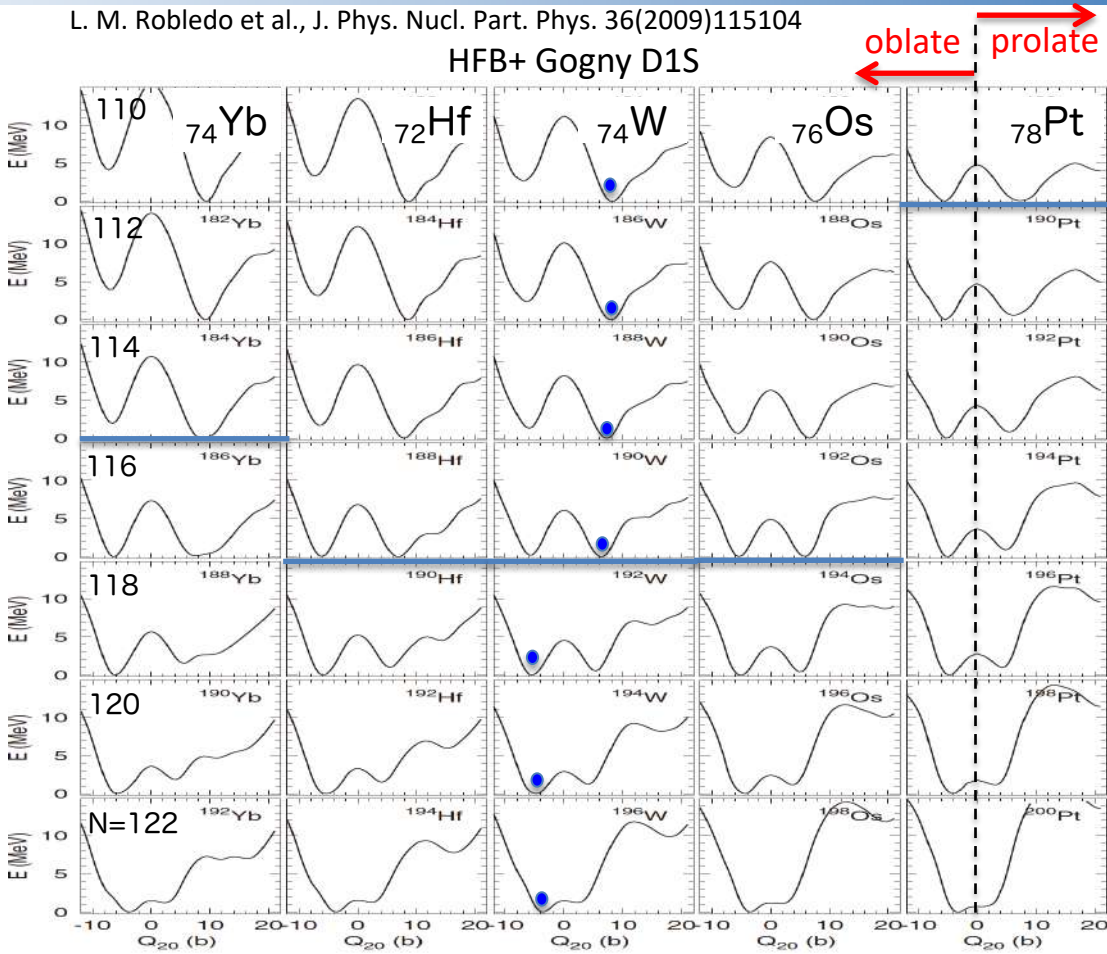
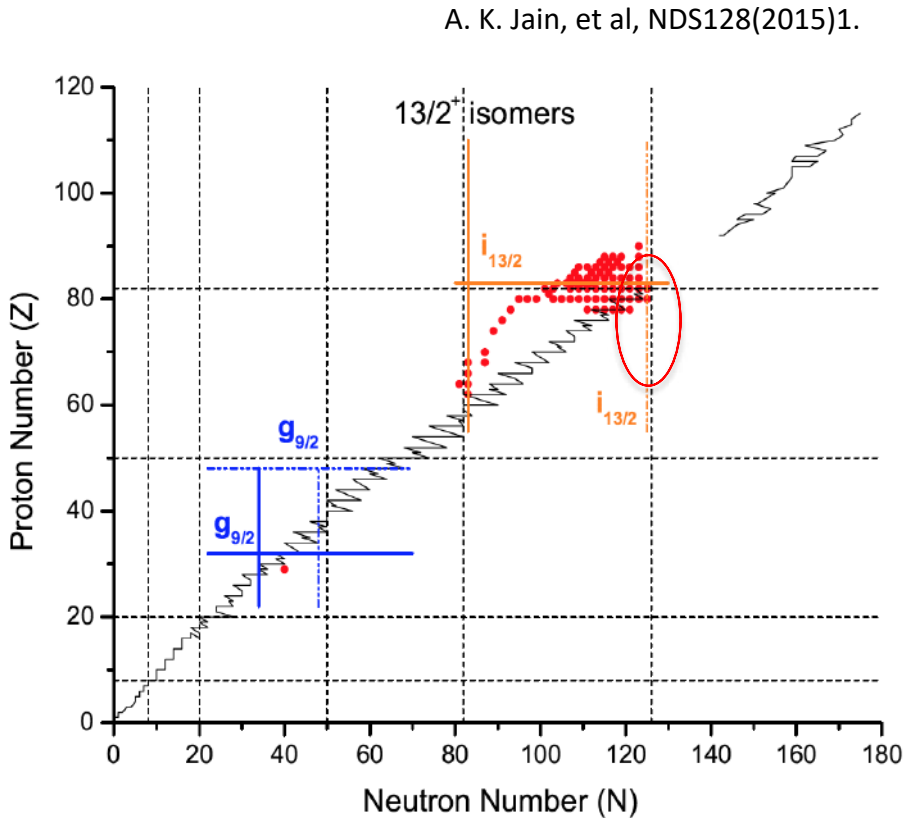
M* : Magnetic dipole moment was measured in KISS.

104 105 106 107 108 109 110 111 112 113 114 115 116 117 118 119 120 121 122 123 124 125 126

Neutron Number

M. Mukai et al., Doctor thesis, 2017, Tsukuba U.

核異性体($\nu^{-1}[i_{13/2}]$)と変形共存の系統的な振る舞い



四重極モーメント

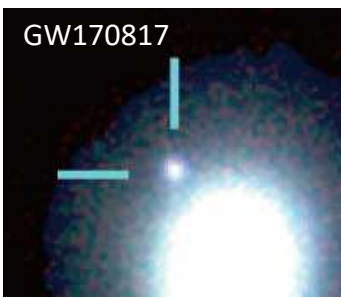
$$\frac{N_{is}}{N_{gnd}} = \frac{g_{is}}{g_{gnd}} \exp \left[\frac{-E_{is}}{86.2 [keV / 10^9 K]} \right]$$

- Shape coexistence of oblate and prolate shapes
- 核異性体($13/2^+$)の励起エネルギー(E_x)
→有効半減期
→ $(n, \gamma) \leftrightarrow (\gamma, n)$ を通じたabundanceへの影響
→high spinだが…

Kilonovaにおける核分裂リサイクルの可能性



2017.08.18-19



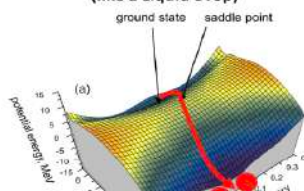
r-過程でランタノイドまでの重元素を生成

青から遠赤外へ

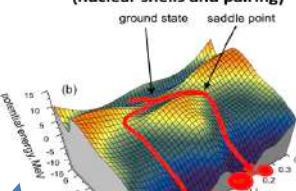
2017.08.24-25



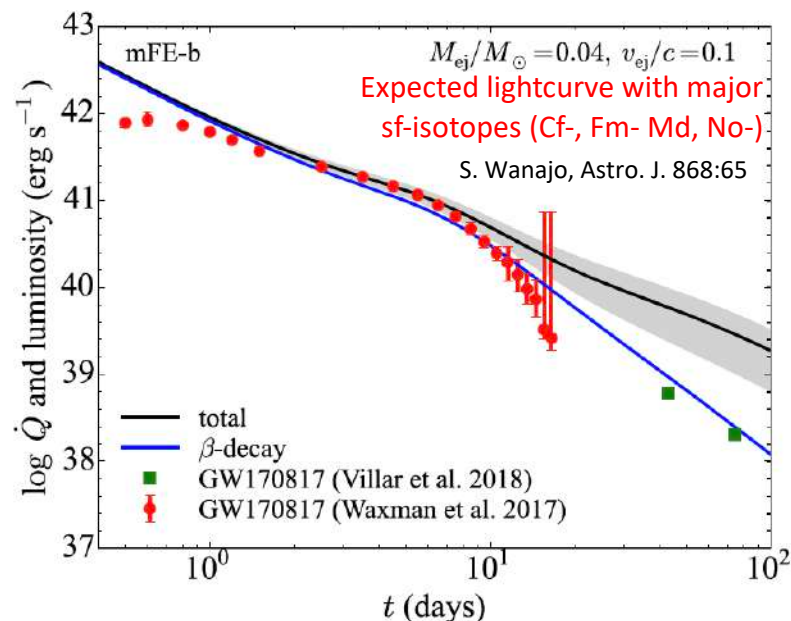
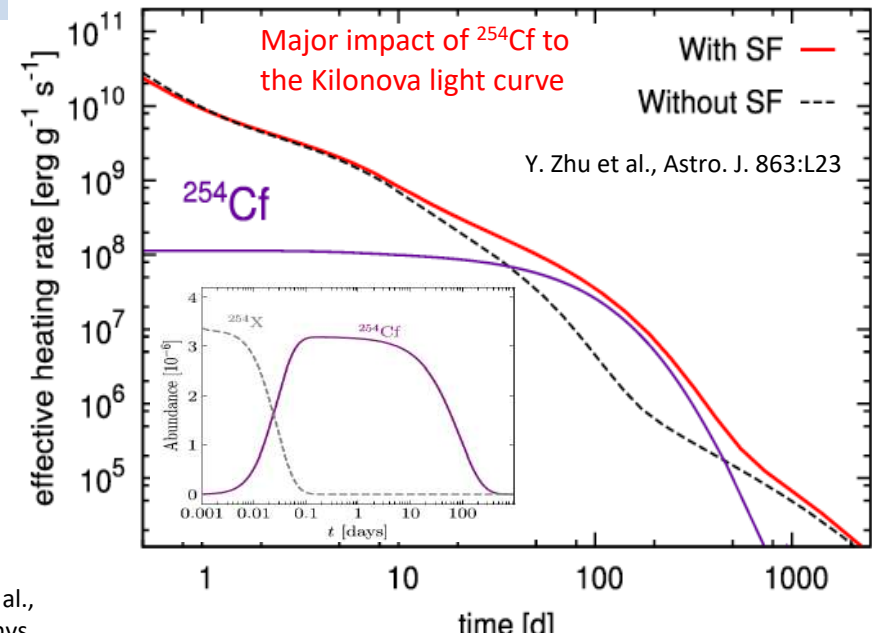
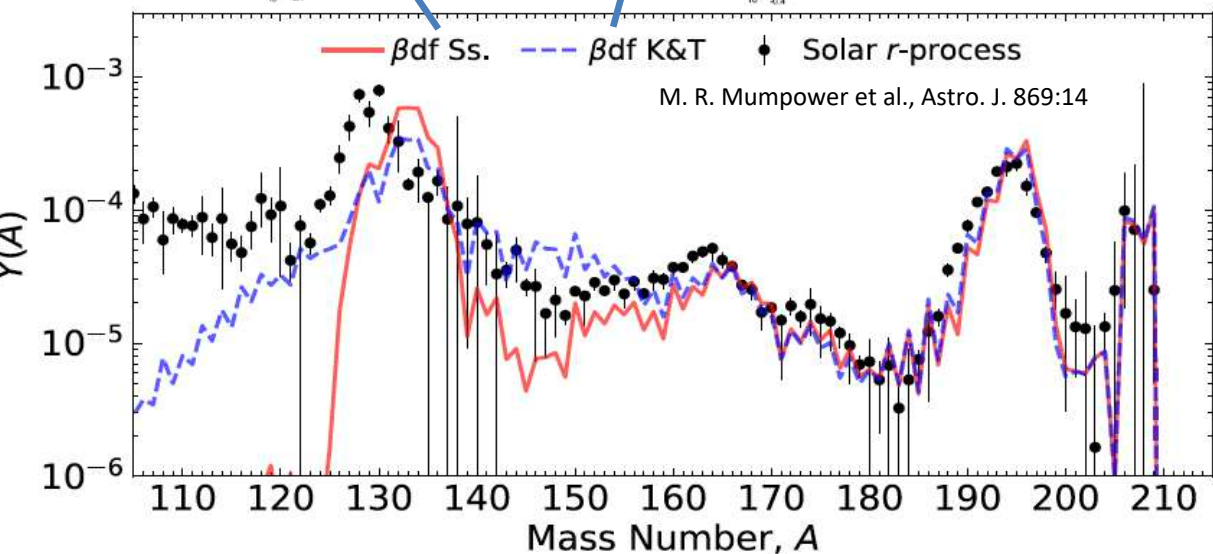
Macroscopic Energy only
(like a Liquid Drop)



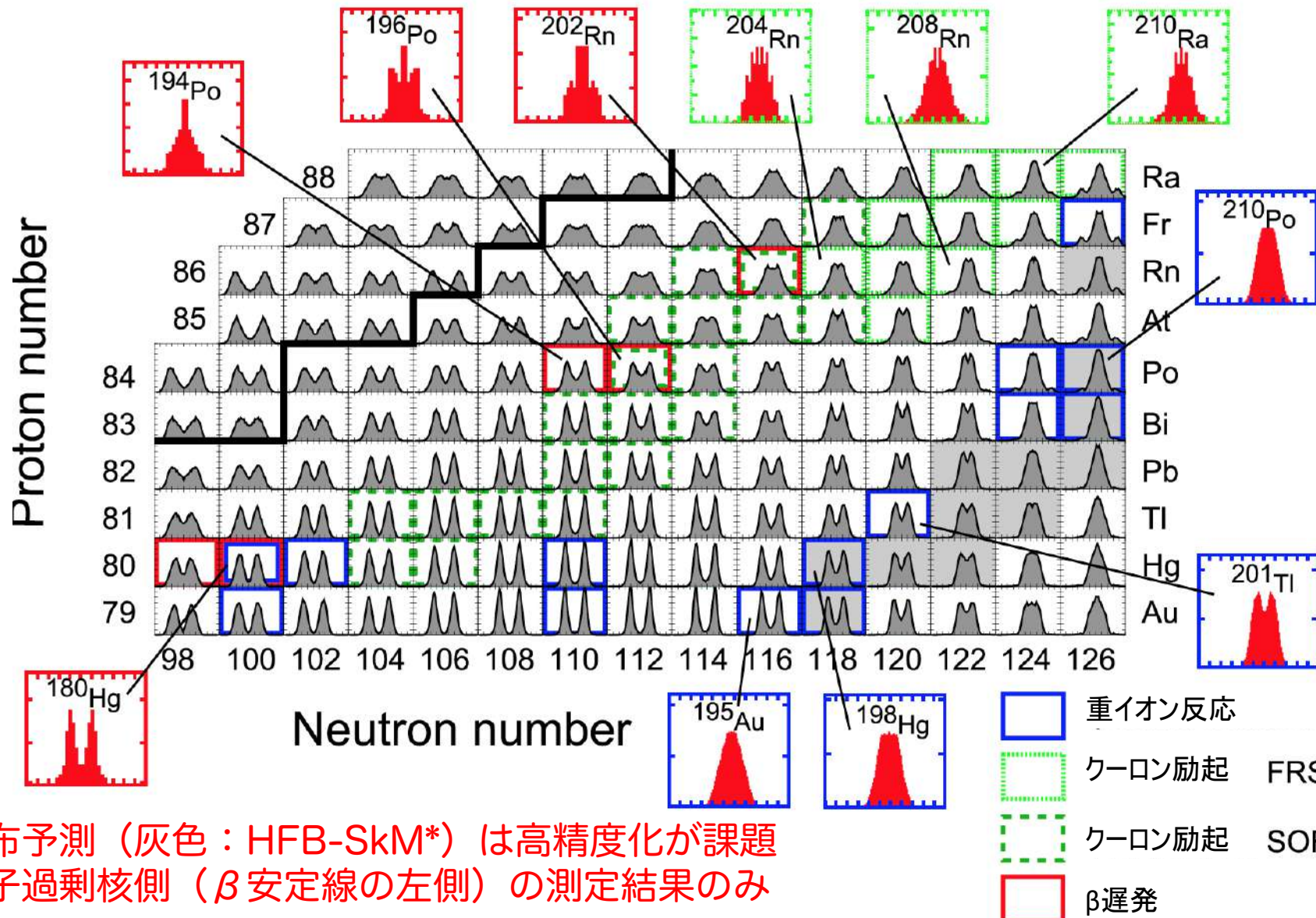
Microscopic effects added
(nuclear shells and pairing)



A.N. Andreyev et al.,
Rept. Prog. Phys.
81(2018)016301



核分裂片質量分布:測定と予測(~2016)



核分裂障壁の測定法（現状と将来計画）

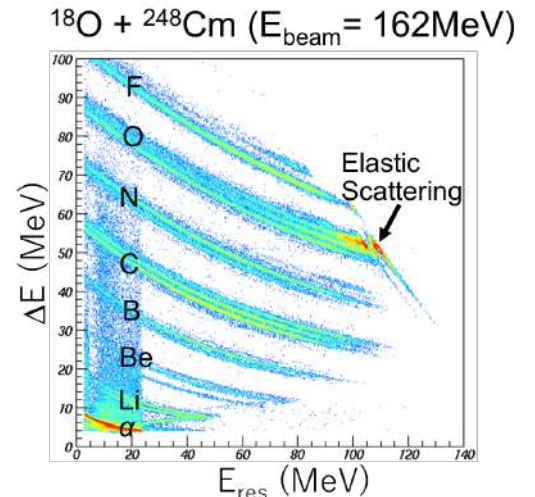
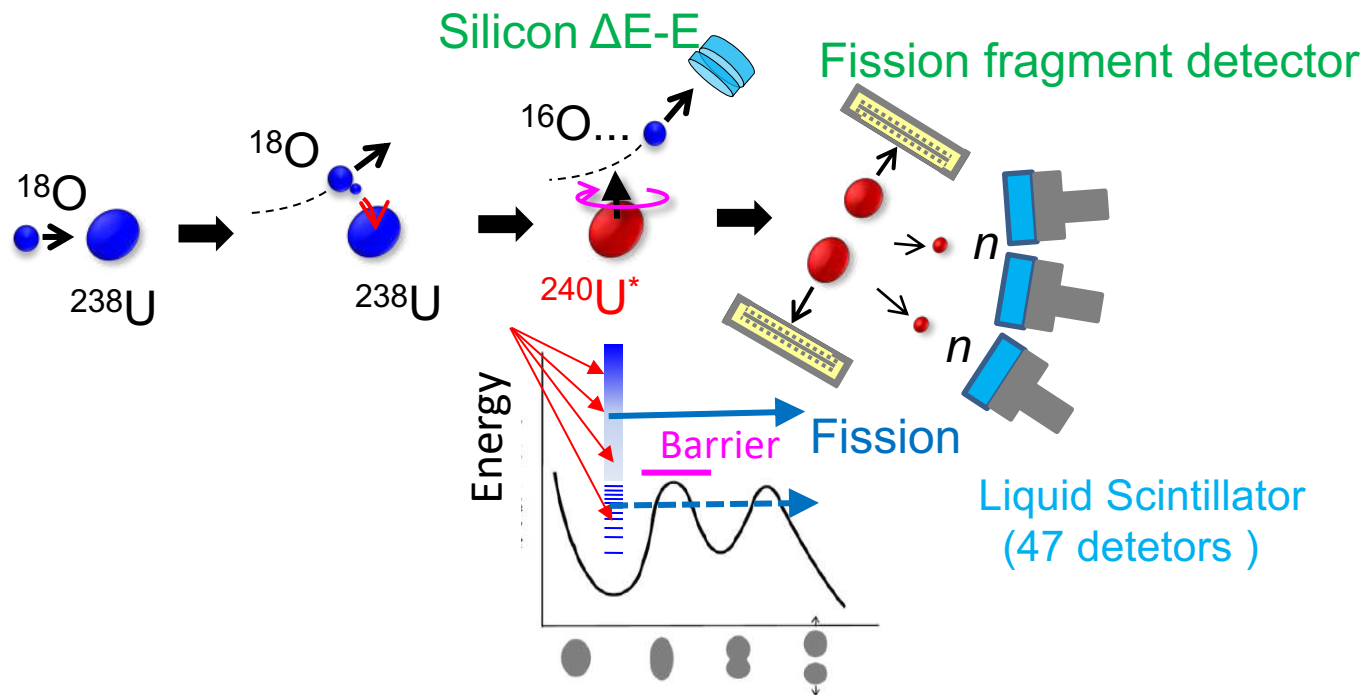
Beams	Direct kinematics	Inverse kinematics
Stable Beams, up to ^{238}U (n, p, light/heavy ions, γ , e^-)	<p>1. MNT-induced fission with ISOL/In-beam@ JAEA(*$^{254}\text{Es-tgt}$) Prompt fusion/transfer-induced fission SF, βDF</p> <p>Future/Proposed</p>	Prompt fusion/transfer-induced fission, VAMOS at GANIL [39]
Radioactive ion beams (RIBs) (fragmentation/spallation of ^{238}U)	<p>Photofission with brilliant γ-ray beams at e.g. ELI [42], SF, βDF with S3 at GANIL</p> <p>βDF of low-energy 30–60 keV beams at ISOLDE [10]</p> <p>Future/Proposed, see section 5</p>	Coulex of relativistic secondary beams SOFIA at GSI [11, 40, 41]
	<p>Prompt fusion/transfer-induced fission with post-accelerated RIBs</p> <p>4. Fission study of further n-rich isotopes with MNT of n-rich RNB's @OEDO</p>	<p>3. p,2p/Coulex with SAMURAI at RIKEN e^--RIBs with SCRIT at RIKEN, ELISE at GSI</p>

1. Multi-nucleon transfer reactions and fission @ JAEA

Courtesy of K. Nishio@JAEA

In the multi-nucleon transfer (MNT) reactions:

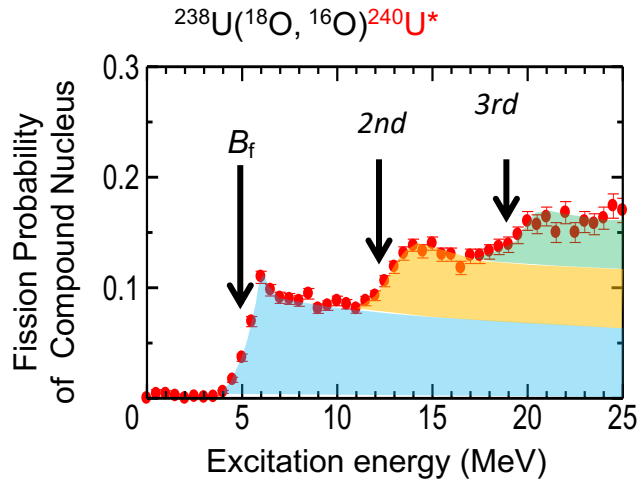
- We can generate many nuclei depending on transfer channels.
- Excitation energy of compound nucleus distributes widely.



Measured and Planned experiments using ^{18}O beam and targets of ^{232}Th , ^{238}U , ^{248}Cm , ^{237}Np , ^{249}Cf , ^{243}Am , ^{249}Bk , ^{254}Es

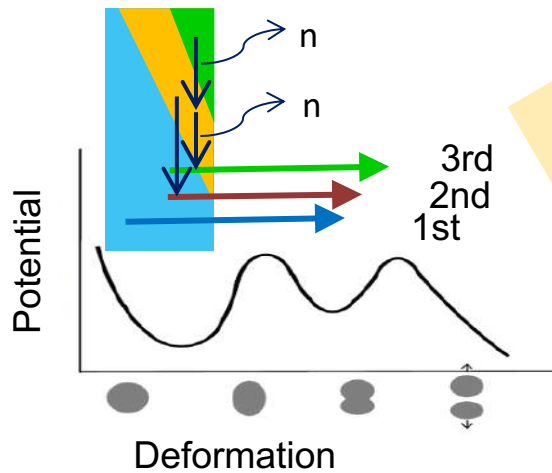
Fission Probability and Fission Barrier Height

Courtesy of K. Nishio@JAEA



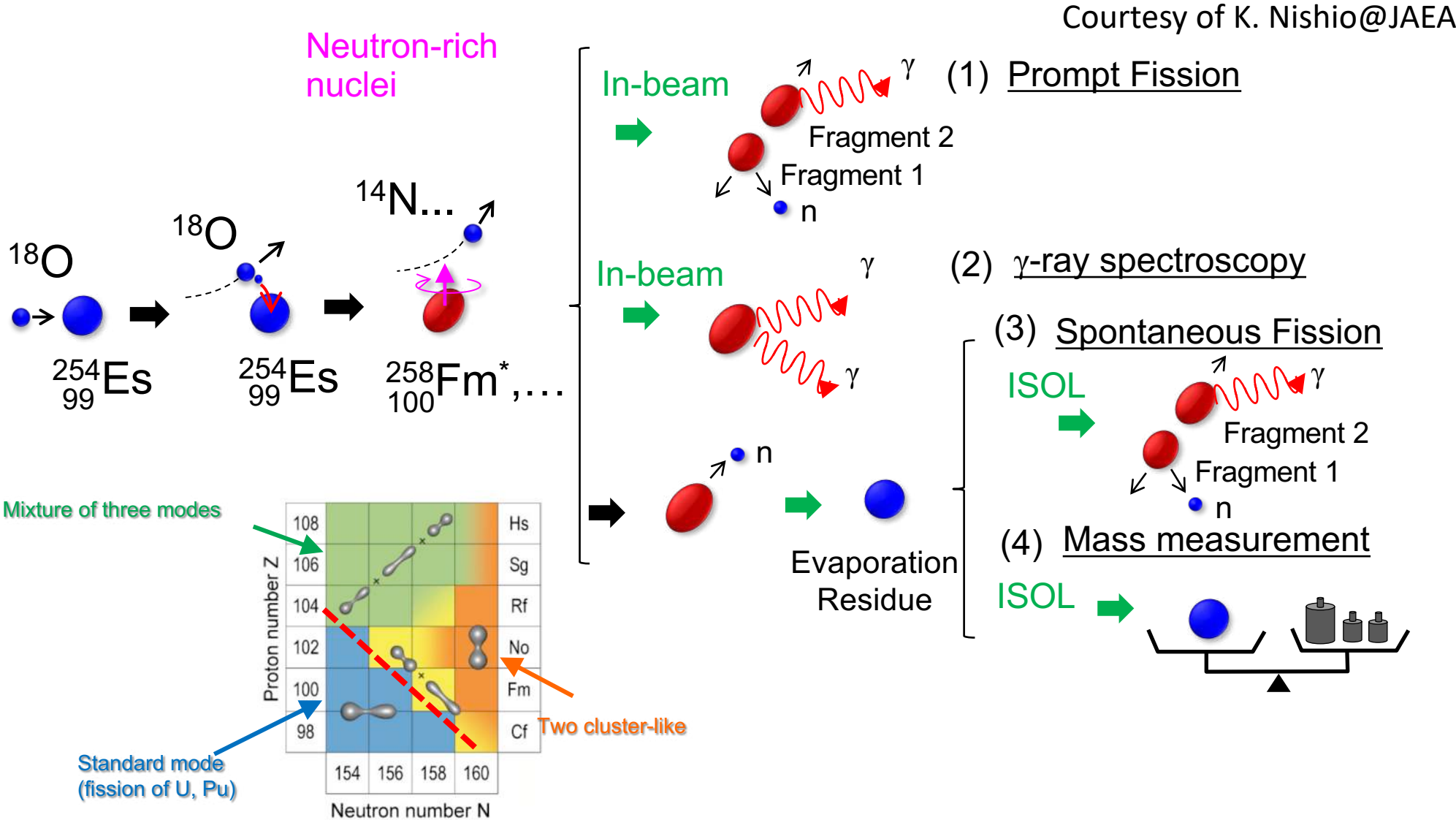
$$B_f^{\text{exp}} = 5.5 \text{ MeV}$$

$$B_f^{\text{cal}} = 6.38 \text{ MeV} \text{ (P. Möller)}$$

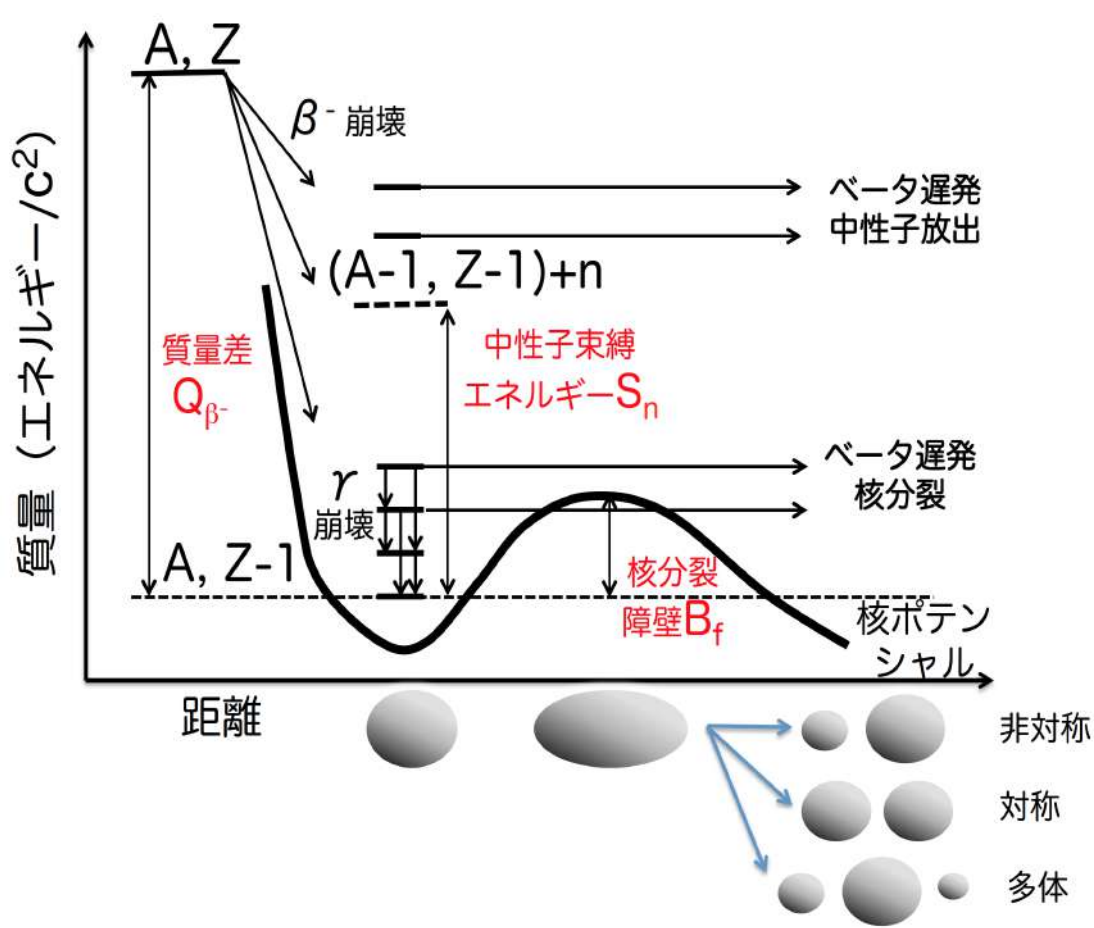


Closed material for Web-distribution

Experiments using $^{254}_{99}\text{Es}$ target and Multi-nucleon Transfer reactions



2. β -delayed fissions of MNT target-like fragments



- 中性子過剰な短寿命重原子核の生成と分離

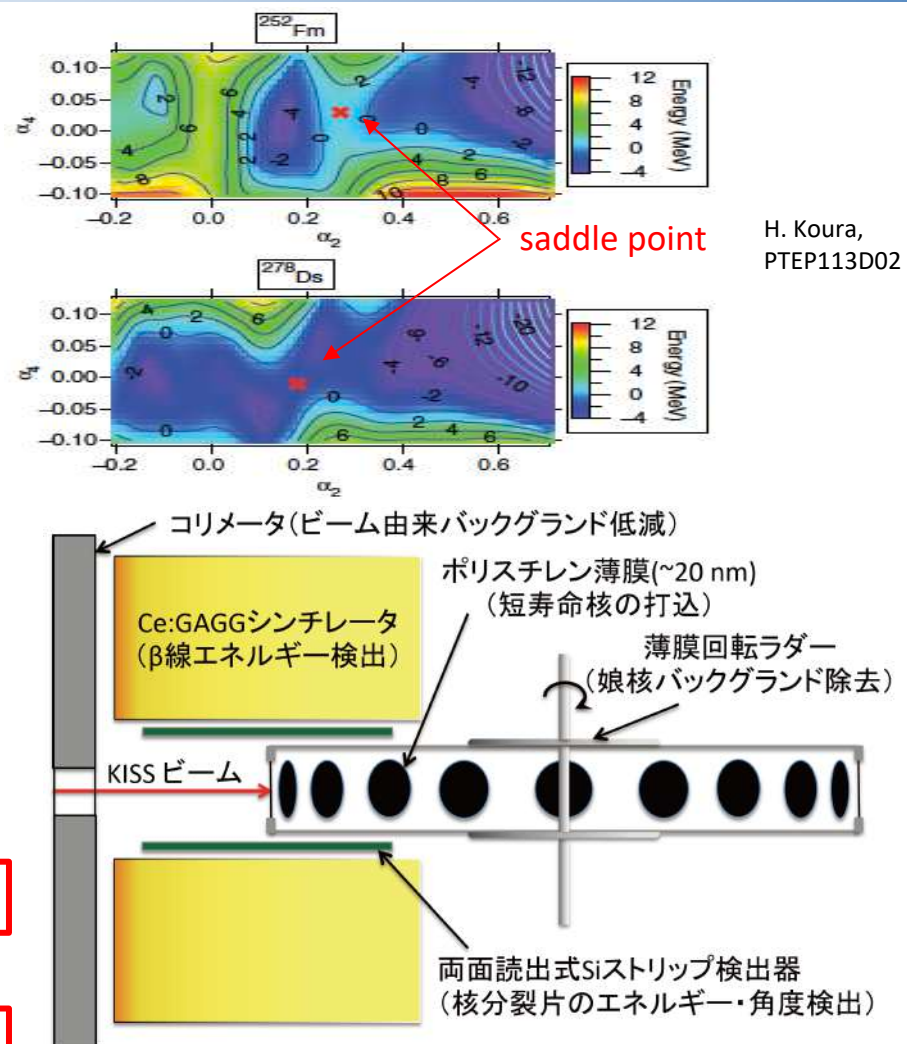
→元素選択型質量分離器(KISS)

- Q_{β^-}, S_n の精密測定

→多重反射型飛行時間測定式質量分光器(MRTOF-MS)

- 核分裂障壁(B_f)の測定と崩壊分光

→遅発核分裂測定器

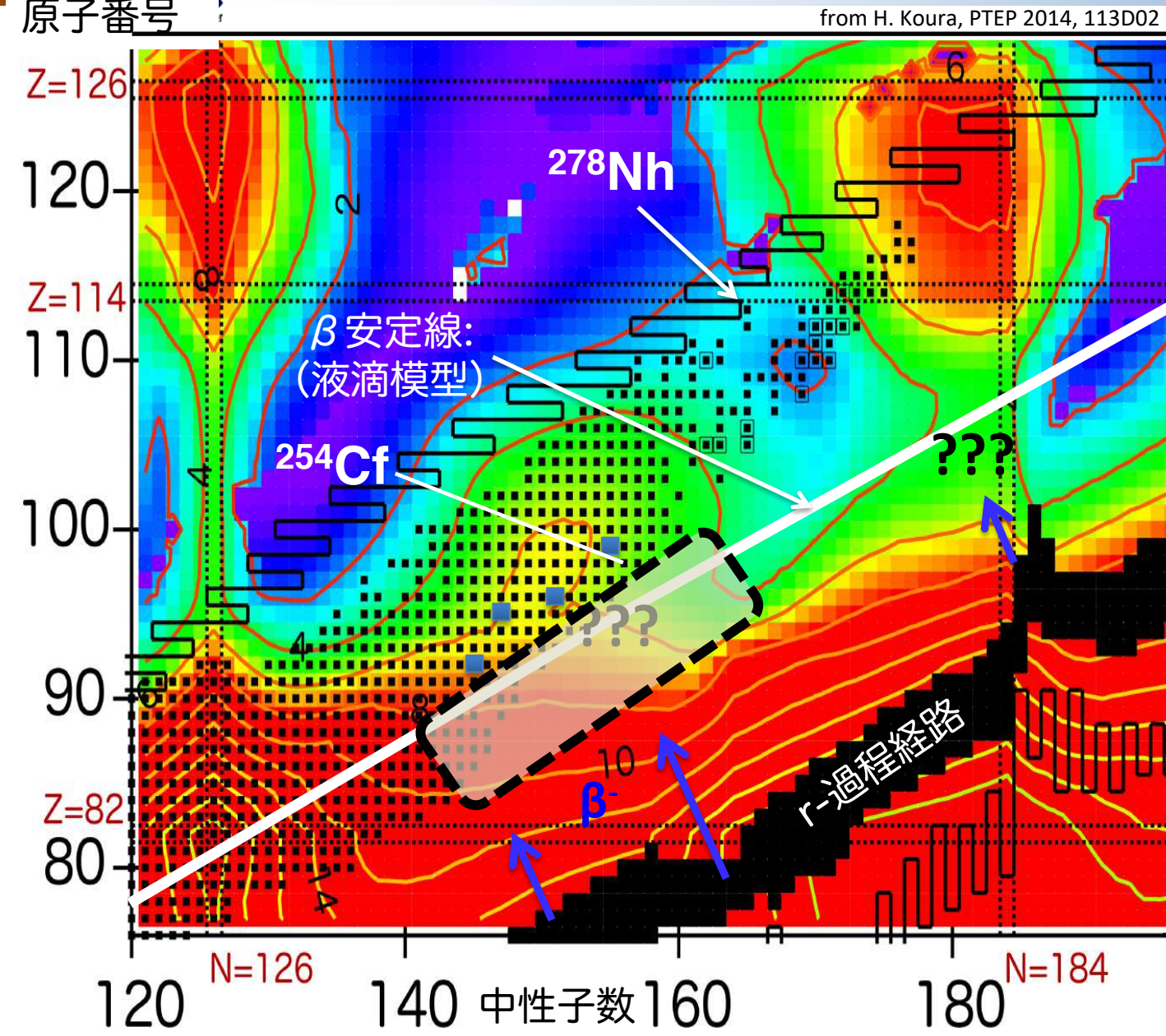


GAGG無機シンチレータによる大立体角、同時測定

- 核分裂片(E, θ, ϕ) → 分裂片の質量分布
- β 線 → $B_f = Q_{\beta^-} - E_{\beta}$ (max : 核分裂)
- γ 線

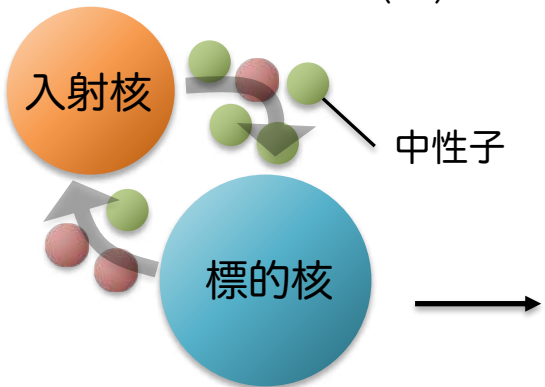
Accessible area with KISS

原子番号



ウラン・超ウラン元素標的
($^{238}\text{U}, ^{243}\text{Am}, ^{248}\text{Cm}, ^{254}\text{Es}$)
と高強度 ^{238}U の多核子移行反応
・ユニークな未踏領域核生成法
・世界に先駆け有効性を実証

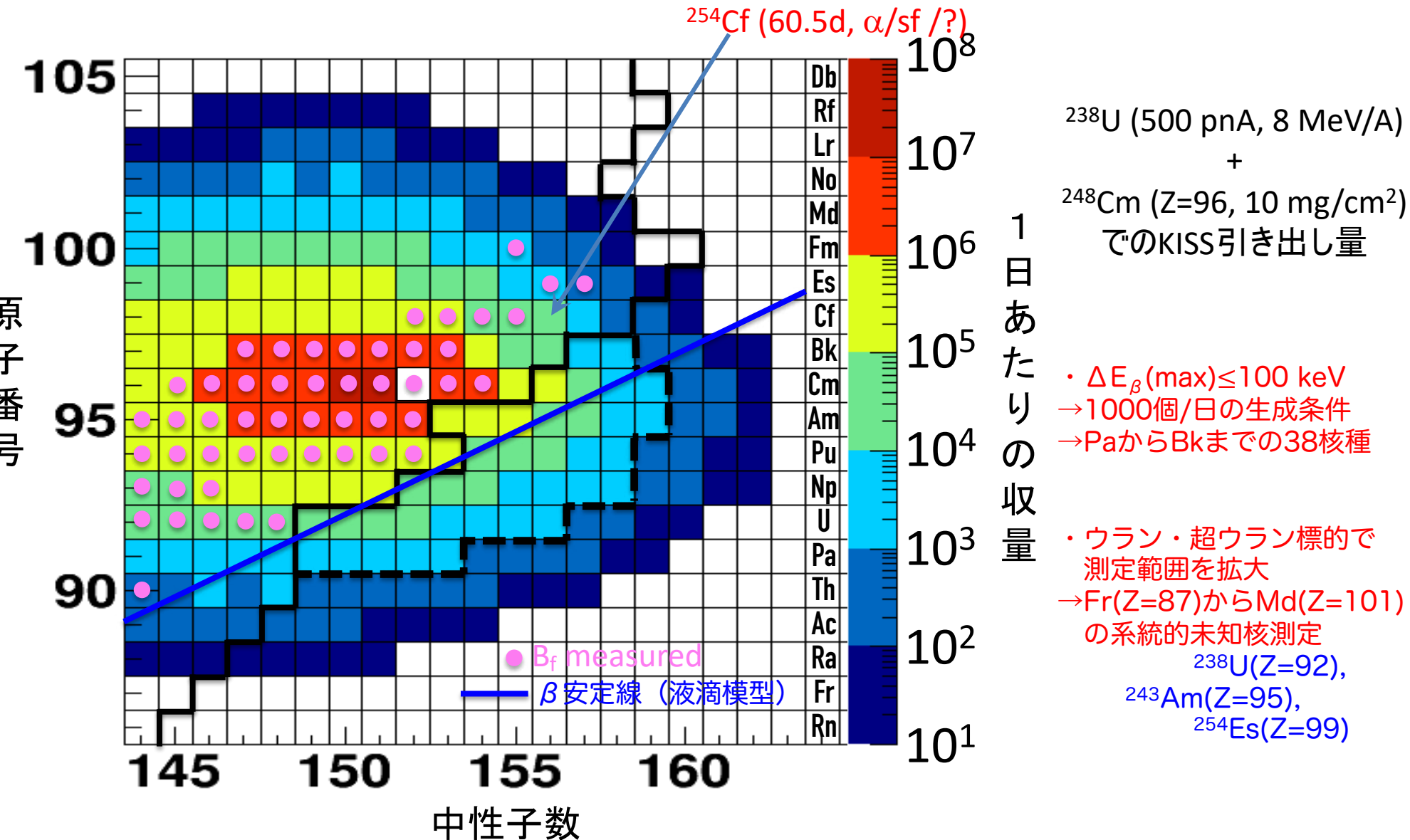
X.Y. Watanabe et al.,
PRL115('15)172503



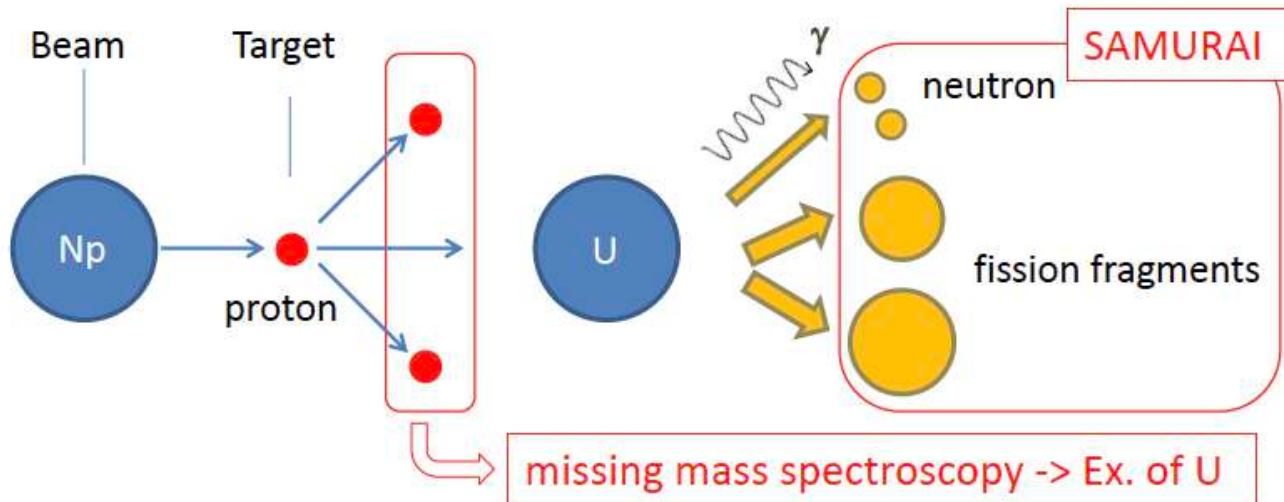
測定対象：
 $\text{Fr}(Z=87)$ から $\text{Md}(Z=101)$
~80の未知核種 (β 安定線の先)

ウラン・超ウラン元素標的による多核子移行反応

- β 安定線（ハイゼンベルグの谷）の対岸へ-

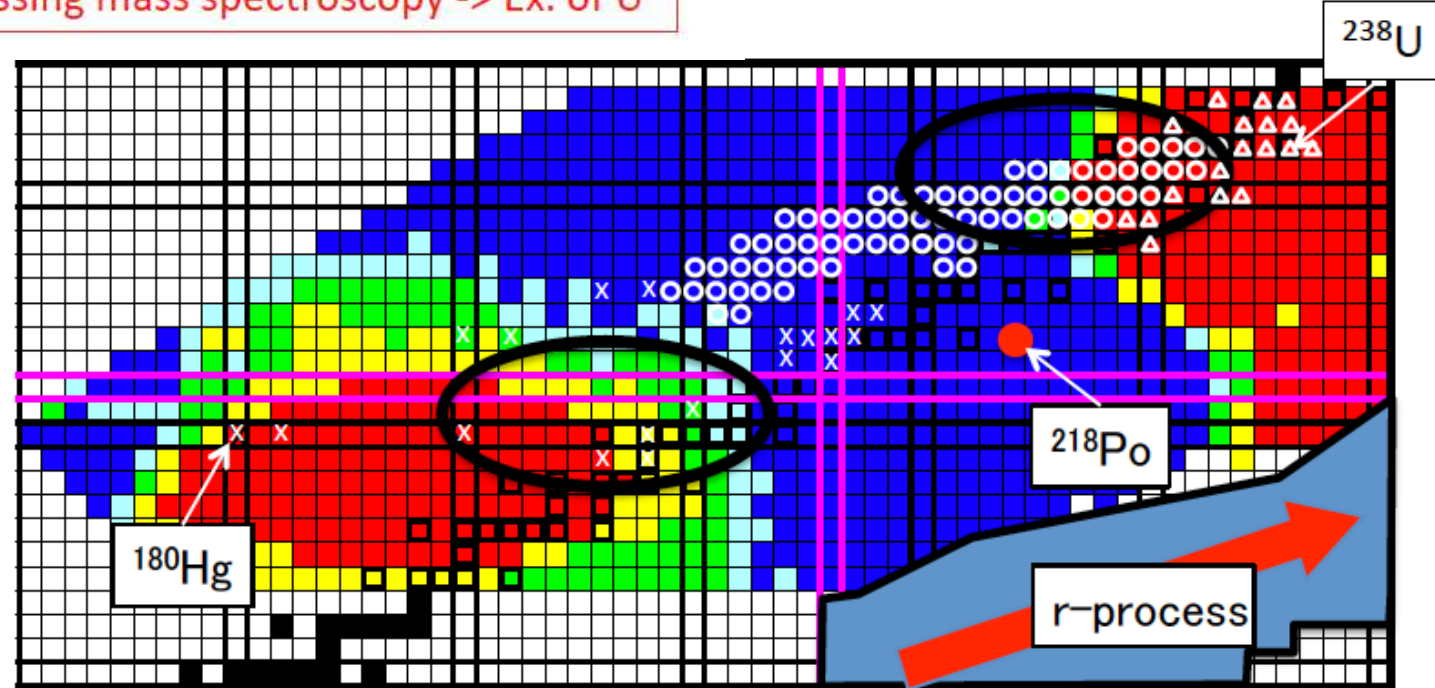


3. Fission study with (p, 2p) probe at SAMURAI



Courtesy of M. Sasano@Riken

核分裂障壁
と
核分裂片 (A, Z) 分布
の同時測定

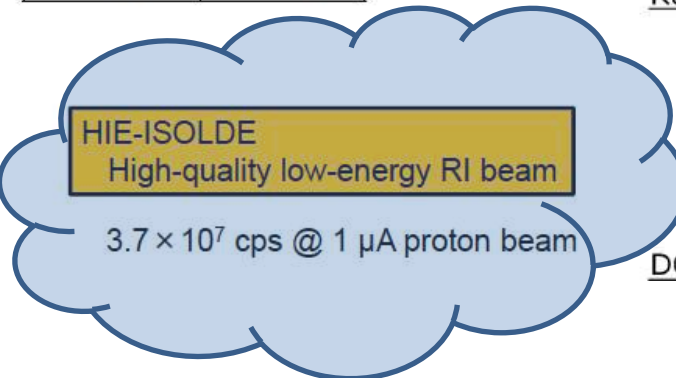


4. fission study of further n-rich heavy isotopes produced through MNT of n-rich RNB's

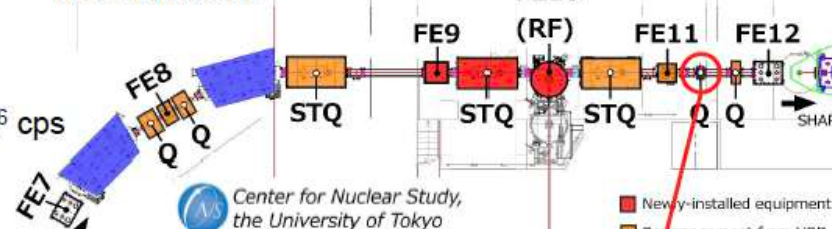
BigRIPS at RIKEN

^{238}U (345 MeV/A, 50 pnA) fission

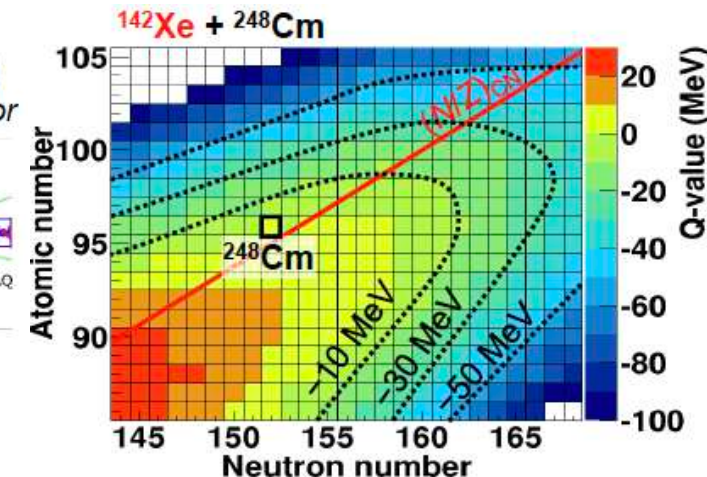
Secondary beam	Beam intensity
^{137}Xe	2×10^6 cps
^{138}Xe	4×10^6 cps
^{139}Xe	4×10^6 cps
^{140}Xe	5×10^6 cps
^{141}Xe	3×10^6 cps
^{142}Xe	2×10^6 cps
^{143}Xe	5×10^5 cps
^{144}Xe	1×10^5 cps
^{145}Xe	2×10^4 cps
^{146}Xe	2×10^3 cps



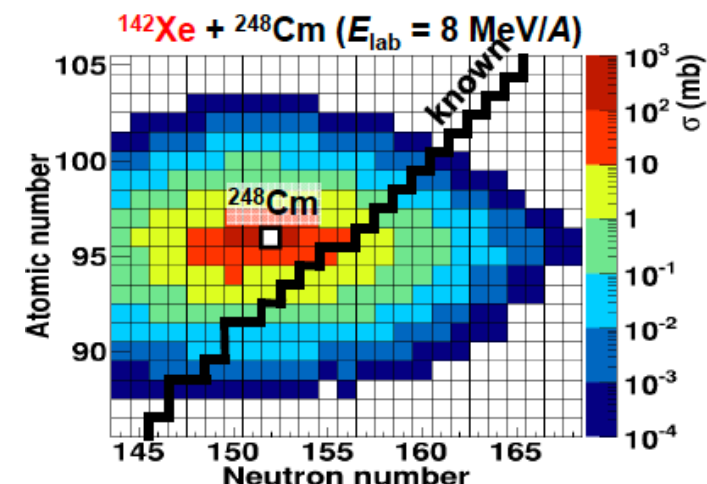
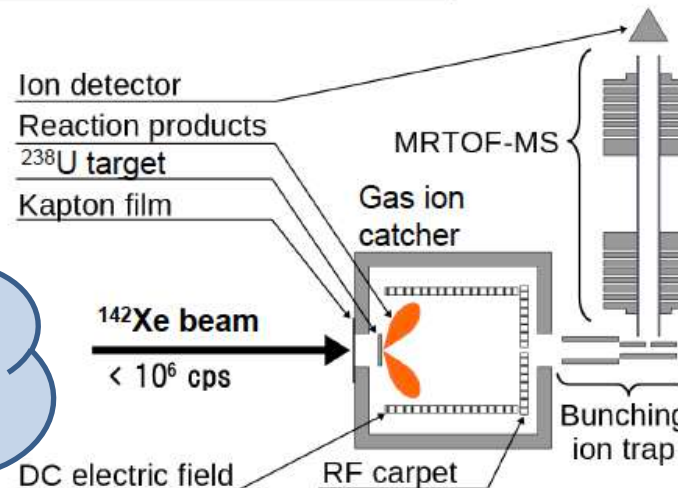
OEDO (Optimized Energy Degrading Optics for RI beam)
Energy-degrading system for RI beam with an RF deflector for beam focus



Courtesy of X.Y. Watanabe@KEK

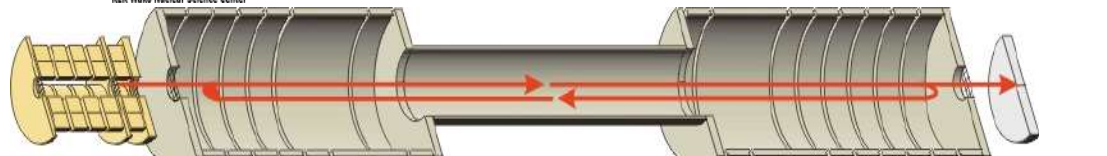


N/Z_{crit}-lineが標的よりも
n-richサイドになる！！



おまけ：All about MRTOF-MS

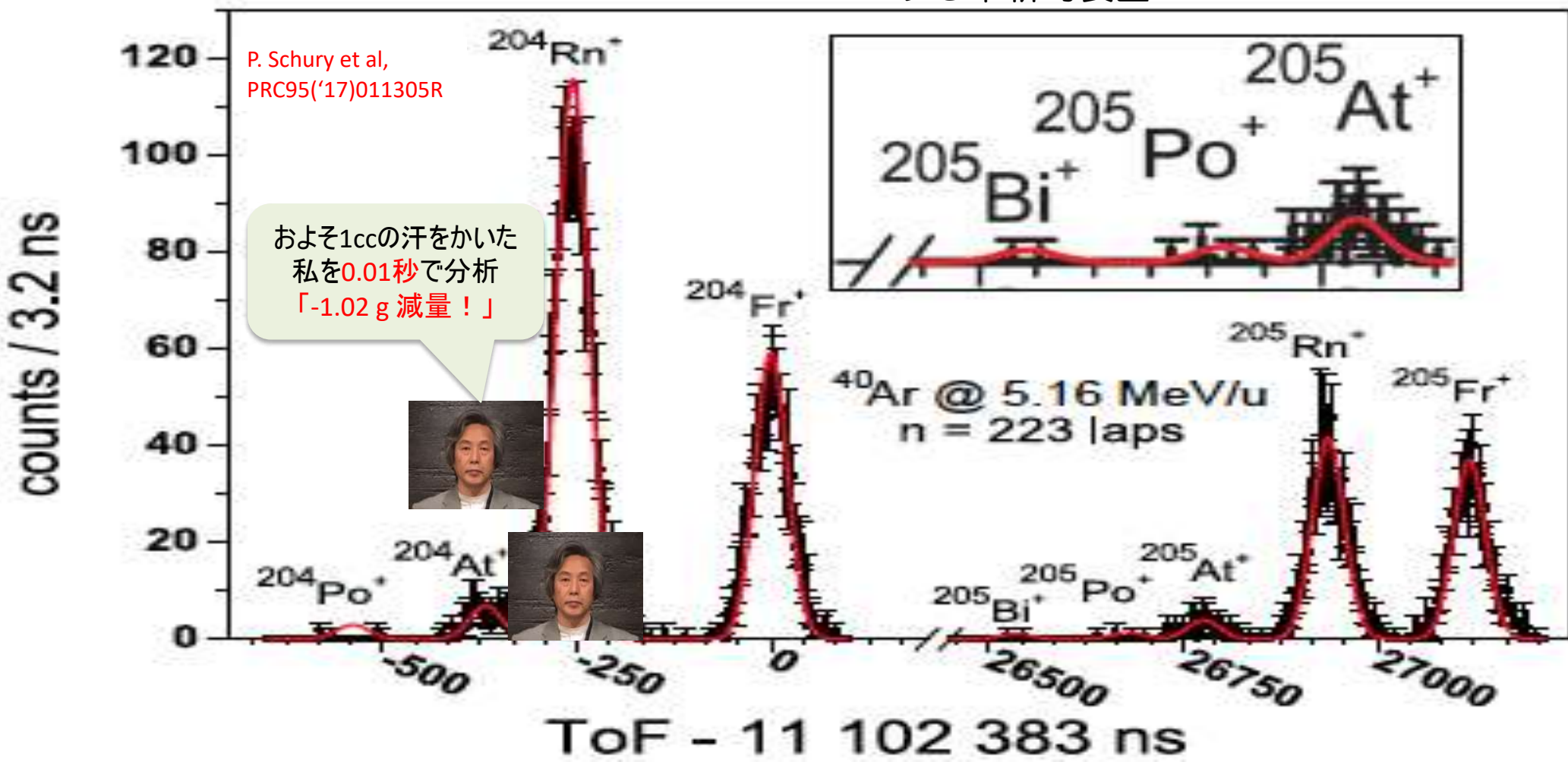
多重反射型飛行時間測定式質量分析器



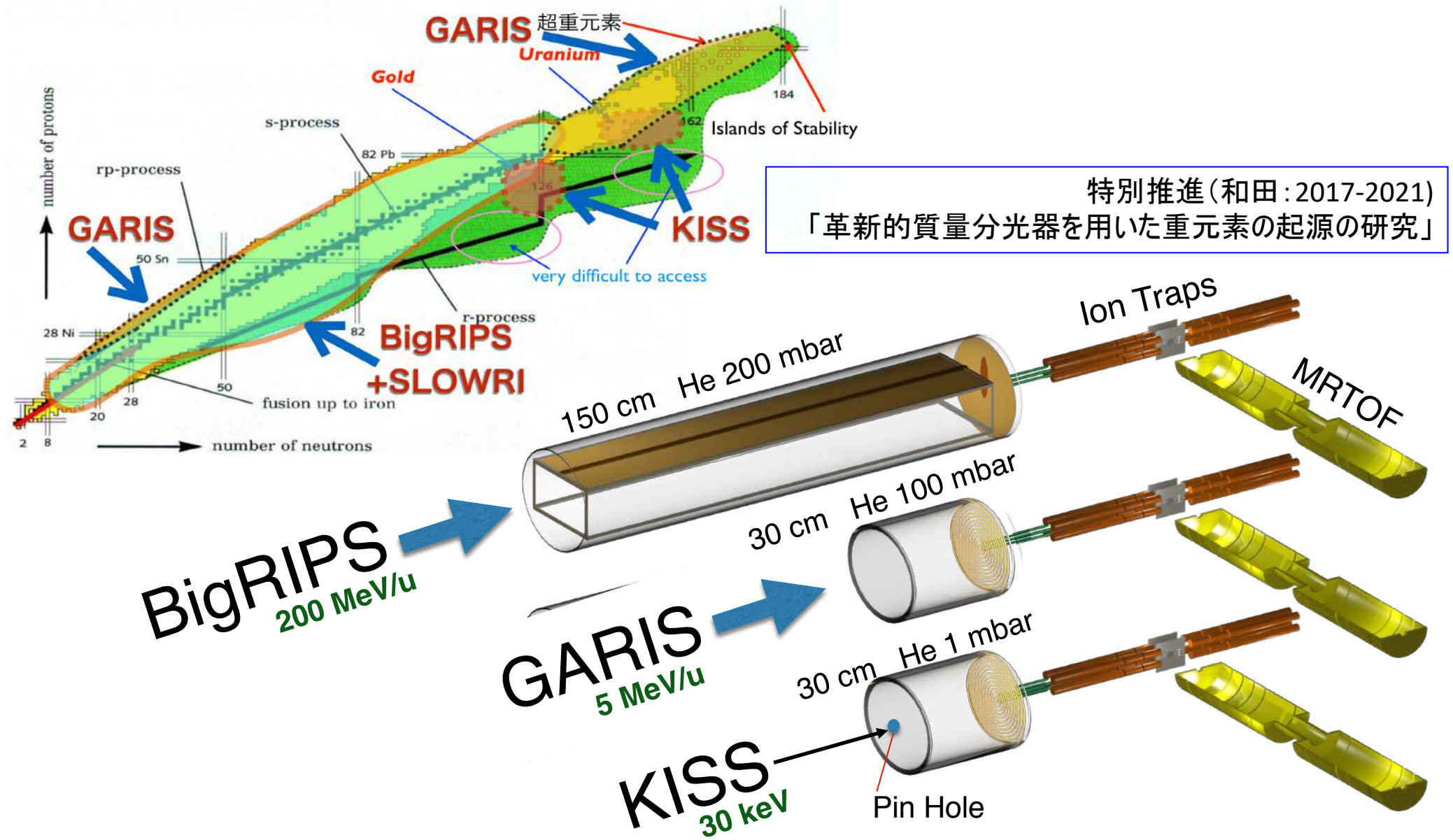
イオンミラー

イオンミラー

- 15年をかけて、KEKと理研が開発。
- 高精度・高確度($\delta m/m \sim 10^{-8}$)
コンパクト($\sim 1\text{ m}$)で高速分析($\sim 10\text{ ms}$)
する革新的装置



おまけ：網羅的原子核質量測定プロジェクト、RIBF (2017~)



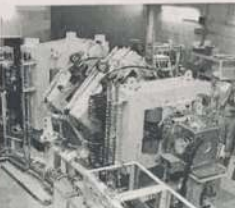
119番元素 合成に策あり

113番ニホニウムの次へ 理研が実験開始

2018/6/28朝日

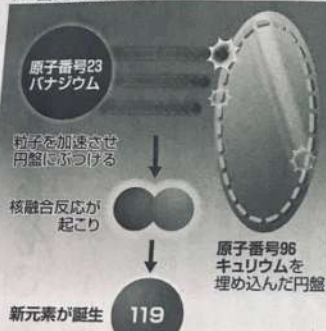
元素の周期表

	原子番号	元素名
H	1	ヘリウム
Li	3	リチウム
B	5	ビスマス
C	6	カーボン
N	7	窒素
O	8	オキシゲン
F	9	フッ素
Ne	10	ネオン
Na	11	ナトリウム
Mg	12	マグネシウム
Al	13	アルミニウム
Si	14	シリコン
P	15	リン
S	16	硫黄
Cl	17	塩素
Ar	18	アルゴン
K	19	カリウム
Ca	20	カルシウム
Sc	21	スコリウム
Ti	22	チタニウム
V	23	バナジウム
Cr	24	クロム
Mn	25	マンガン
Fe	26	鉄
Co	27	コバルト
Ni	28	ニッケル
Zn	29	ジン
Ga	31	ガリウム
Ge	32	ジルコニウム
As	33	アス
Se	34	セレン
Br	35	ブロード
Rb	37	リビウム
Sr	38	ストロンチウム
Y	39	イットリウム
Zr	40	ジルコニウム
Mo	42	モリブデン
Tc	43	テクネシウム
Ru	44	ルテニウム
Pd	46	パラジウム
Ag	47	銀
Cd	48	カドミウム
In	49	インジウム
Sb	51	アンチモン
Te	52	テルル
I	53	ヨウ素
Xe	54	エキソゲン
Cs	55	カセウム
Ba	56	バ륨
Hf	72	ヒフニウム
Ta	73	タントラウム
W	74	タングステン
Os	75	オスミウム
Ir	76	イリジウム
Pt	77	プラチナ
Ag	78	銀
Hg	79	水銀
Tl	80	チル
Pb	82	リビウム
Bi	83	ビスマス
At	85	アストラチウム
Rn	86	ラジウム
Fr	87	フラン
Ra	88	ラジウム
Rf	104	ラジオラニウム
Ds	106	ラジオダニウム
Hs	108	ラジオヒス
Mt	109	ラジオマニウム
Ds	110	ラジオダニウム
Hs	111	ラジオヒス
Ga	113	ガリウム
Nh	115	ニホニウム
Fl	117	フラン
Mc	118	マクニウム
Lv	119	リブニウム
Ts	120	トリチウム



新元素を分離する装置
「GARIS II」埼玉県和光市の理研

119番元素の作り方



新元素が誕生

119

装置を強化 ■ 「熱い核融合」で挑戦

「水素II-1」「鉄II-26」など、元素の種類を示す原子番号を発見した理化学研究所などの研究チームが、今度は119番元素を合成する実験を始めた。装置の性能を高め、再び新元素の命名権獲得を目指す。実験を通じて、元素の特性などの理解が深まることが期待される。

号は、原子核のなかにある陽子の数を表す新元素です。ある元素同士の足し算で作る。例えば二ホニウム(原子番号113番)は、加速器を使って垂鉛30番を金属のビスマス83番の円盤型の標的(原子核をぶつける加速器)に高速で打ち込んで作った。119番元素は、比較的大手しやすいバナジウム(23番)をキュリウム(96番)に打ち込んで作る。装置を改良し、原子核をぶつけけるため、新元素を分離する装置の検出性能を大幅に高めた。新元素の性能をよりよくして、新元素を分離する装置の検出性能を大幅に高めた。新元素の性能をよりよくして、新元素を分離する装置の検出性能を大幅に高めた。

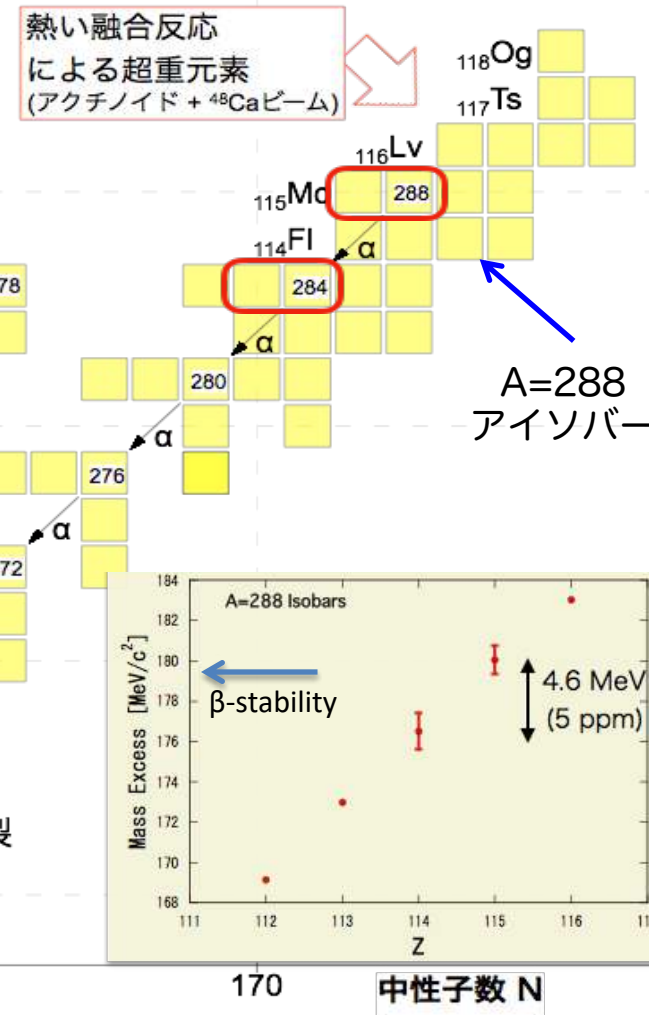
質量測定器 命名権後押し?

119番元素を作りだす実験と同時に、解析技術の研究も進んでいる。高エネルギー加速器研究機構(茨城県つくば市)などの国際研究チームは、元素ごとのわずかな質量の違いを検出できる測定器を開発した。この測定器は、合成した元素をとらえて、装置の中を飛びぶ時間から質量を測ることができる。これまで、崩壊過程を明らかにすることで新元素の発見を立証してきたが、質量を厳密に測るようになれば、崩壊までに長時間かかる場合や、崩壊する過程でよくしている。

理学連合(IUPAP)による認定にもつながった。だが、この方法は原子番号を作った新元素は非常に不安定で、アルファ線を出して一瞬で崩壊し、別の元素に変わってしまう。新元素を作ったことを証明するために、二ホニウムでは、合成した新たな原子核のエネルギー状態が低い「冷たい核融合」という方法を使い、崩壊過程でよく知られた元素をたどりづけるようにして、国際純正・応用化学連合(IUPAC)と国際純粋・応用物質開発センター長は「2年後にも成果を公表できるかもしだい」と意気込む。ただ、キュリウムは希少な人工元素で、国内に研究で利用できるものがない、米オーラムリーダーは「実験開始に必要なきりぎりの量をどう

重核質量測定 @GARIS II

超重核の質量 \leftrightarrow 原子番号の物理的同定



まとめ（と核理論研究への希望）



- KISS projectは金・白金ピーク起源核の性質を調べて、その天体環境条件を解明しようとしている
- ユニークに測定寿命を説明できる模型がないことの背景として、**核変形の定量的な理解（特に閉殻近傍の変形共存）**が必要だと思われる
- 核分裂サイクルの詳細な核データは、r-過程の理解に大きなインパクトを持っているにも拘らず理論・実験ともに極めて不十分な状況にある
- r-過程終焉部にも関連する核分裂研究では、魁となるJAEAでの実験に続いて、KEK, Rikenなどで実験的研究が画策されている
- 原子核質量の高精度・高効率・高速度測定を可能としたMRTOFの威力は、（主に基底状態の）nuclear mass map作成の現実性に結びついている
- n-rich heavy isotope生成のfeasibilityを知る上で、MNT反応機構の定量的理説が欠かせない。特に**n-rich RNB'sによるMNT反応の特徴**をいち早く抑えたい
- 核分裂サイクルを元素合成の定量的シミュレーションに載せるには、**精度良いPES-map（多体分裂の可能性も含む質量非対称度（変形度？）、重心間距離をパラメーターにした）確立**が急務だと思われる
- 詳細なPES-mapをもとに、**核分裂障壁や核の励起エネルギーを関数とした核分裂片の分布予測までを一貫した動的模型**で記述出来ないだろうか？

End

r-過程の第三ピークと終焉領域

- KEK-WNSCのアプローチ -

2018.06.20-21 重力波時代のrプロセスと不安定核
H. Miyatake, WNSC, IPNS, KEK

いつ・どこでできたのか?
天文観測

異なる天体・世代星での元素存在比
動的・静的情報

直接的な情報

合成経路、合成条件
(存在比パターンの説明)

銀河における物質進化の解明
爆発的天体モデルの
定量化・精密化

どのようにできたのか?
原子核物理

極端条件（高温、高密度、中性子
過剰など）下の反応・構造

どうしてできたのか?
宇宙物理

起源天体の動的・静的性質
極端状態下の物質形成

間接的な情報

核物理パラメーター曖昧さの解消
未知核の性質予測

W49b

X-ray: NASA/CXC/SSC/J. Keohane et al.; Infrared:
Caltech/SSC/J. Rho and T. Jarrett

もう少し先に行ってみよう

- r -過程終焉部・核分裂障壁 -

Relative strength: β -decays & n-captures along the path at $N=184$ vs $N=126$

$A \sim 110 - 170$ (including rare-earth peak):

Fission Fragment Distribution
Fission rates $A \sim 278$ ($N=184$)
+ (n,γ) & β competition

$A \sim 195$ peak:

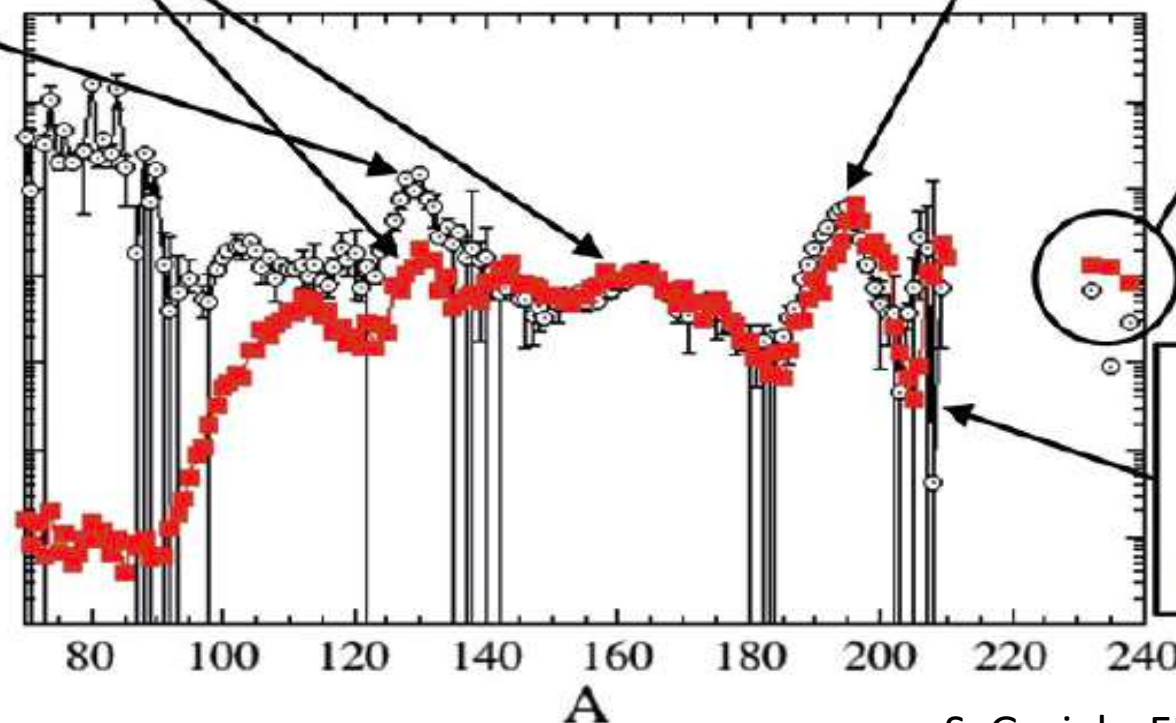
(n,γ) & β competition ($N=126$ shell)
+ late-n capture (prompt fission neutrons &
 β -delayed neutrons)

$A \sim 130$ peak (?):

If symmetric FFD at
 $A \sim 278$ with $v \sim 20$
prompt
neutrons emitted

Th & U:
 (n,γ) & β

$A \sim 202$:
 (n,γ) & β
(plus fast
expanding
trajectories)



超重核領域 ~ r -過程終焉部
天体核物理に対する
インパクト

測定対象
生成・分離・測定における
イノベーション

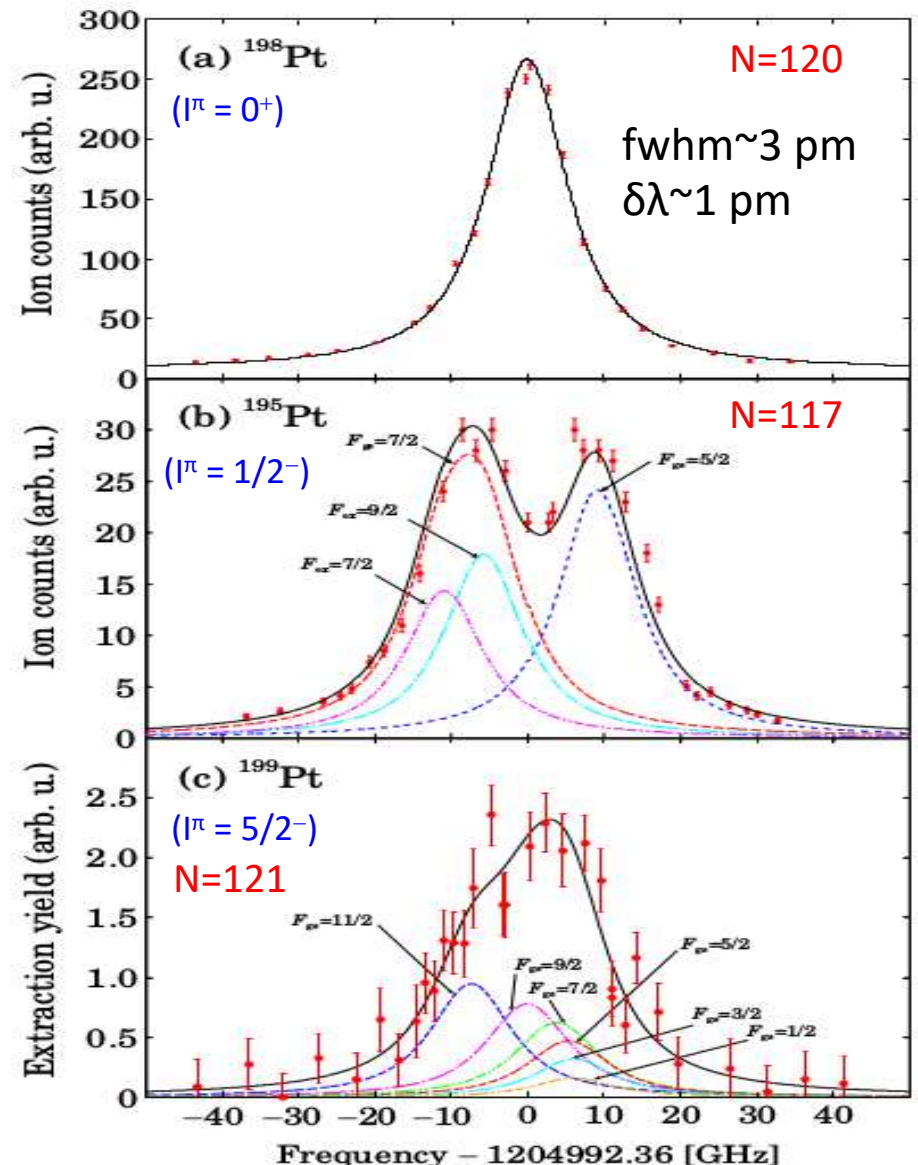
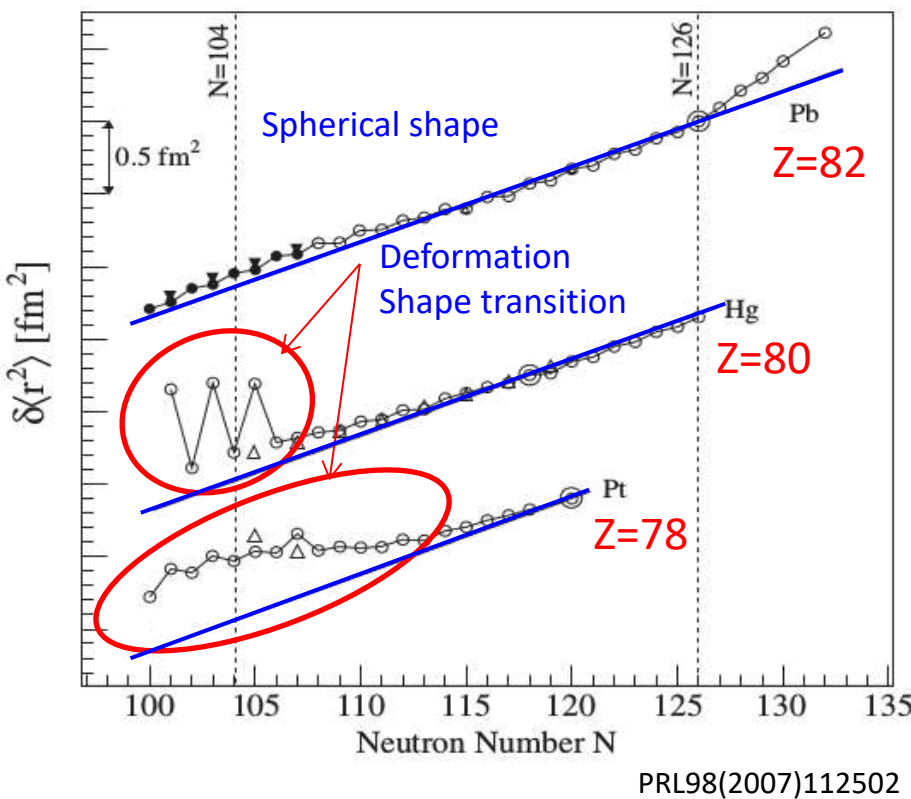
Hyperfine structure in the In-gas laser spectroscopy



Study of nuclear structure in the N=126 region

Laser spectroscopy

- Isotope shift
 - charge radius
 - deformation
- Hyperfine structure
 - μ_l , Q
 - wave-function



Masses to be measured

Experimentally Synthesized : ≈ 3300

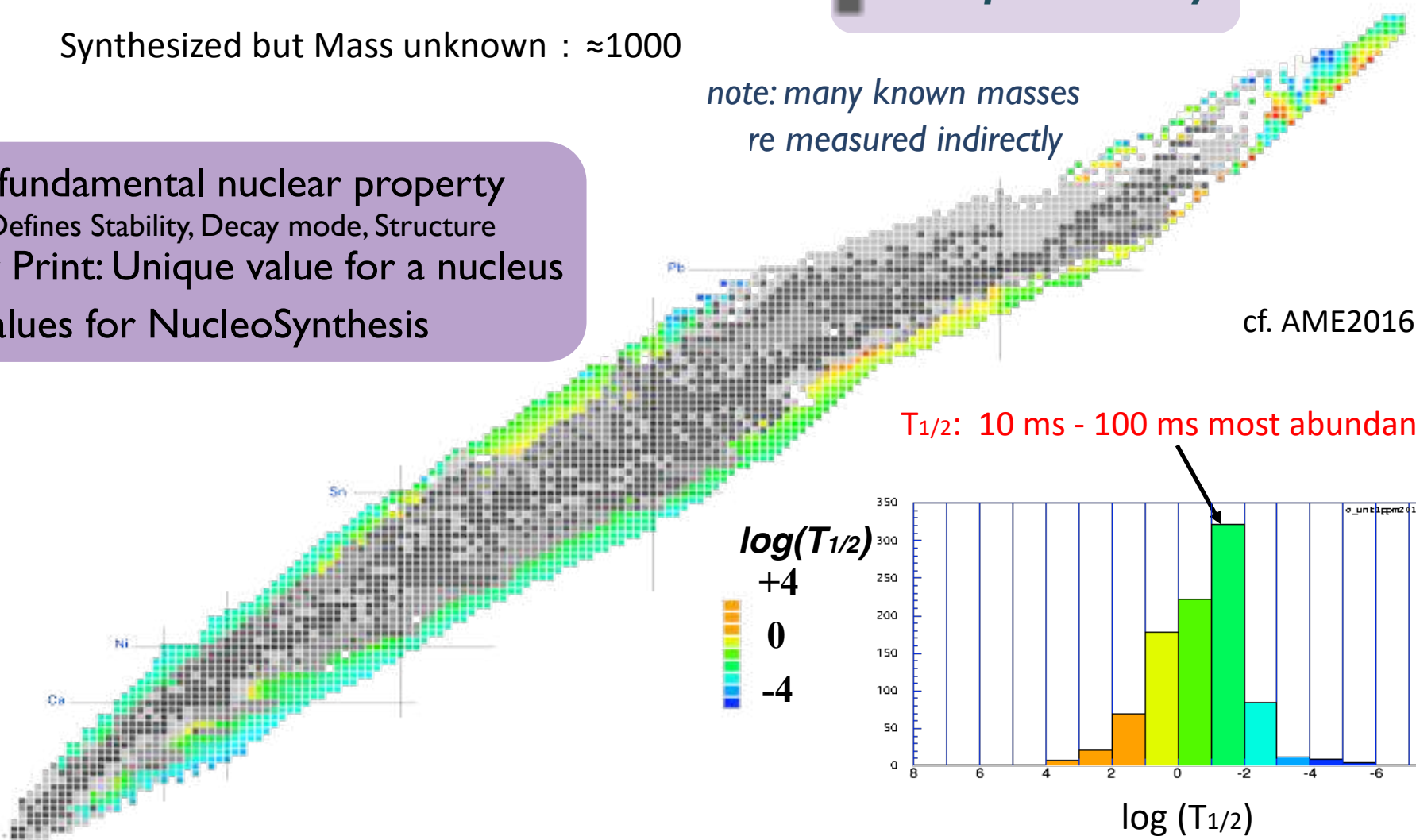
Mass Known($\delta m/m < 10^{-6}$): 2300

Synthesized but Mass unknown : ≈ 1000

decay, reaction (660)
mass spectrometry

note: many known masses
re measured indirectly

- Most fundamental nuclear property
Defines Stability, Decay mode, Structure
- Finger Print: Unique value for a nucleus
- Key values for NucleoSynthesis



KISS-MRTOF-MS: 2017年度後半から測定可能



実績ある装置:

- ・超ウラン元素(6種)を含む80以上の原子核質量測定
- ・充分な分解能($M/\Delta M > 10^6$)、短分析時間(< 20 ms)
- ・世界に先駆けて高確度・高精度測定を実現

基盤S(2012), 特推(2017)

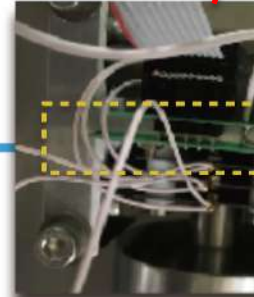
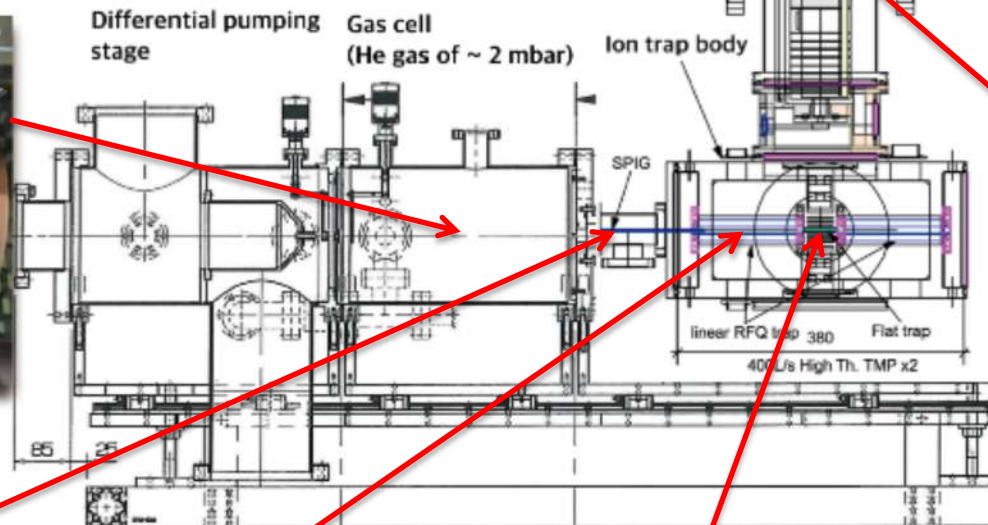
ヘリウムガスセル



高周波六重極
イオンガイド



線型高周波
四重極トラップ



フラットトラップ



出射部

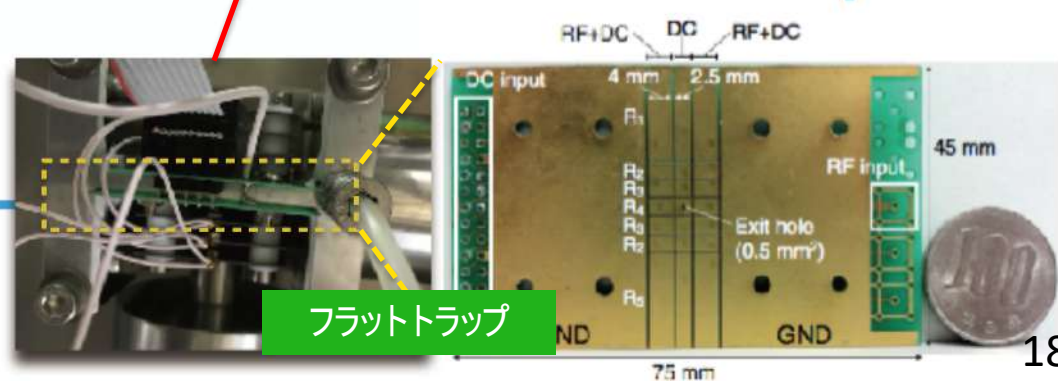
ミラー電極

レンズ

ミラー電極

入射部

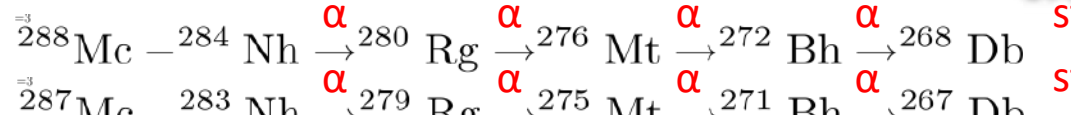
mini-MRTOF



Summary of physics cases @ GARIS-II E6



- Pin down masses of hot-fusion SHE



- First Masses N>162 deformed shell

Island of Stability prediction depends strongly on N=162 sub shell (cf. H. Koura)

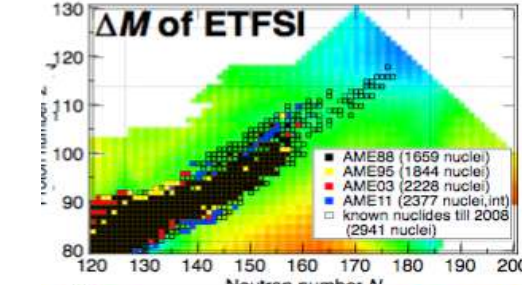
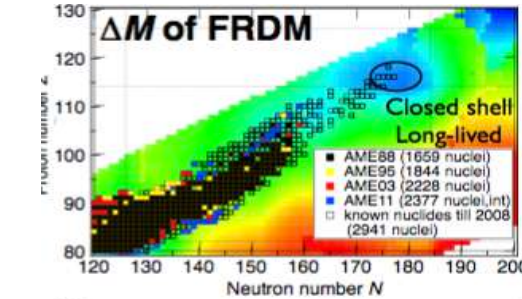
- A-identification **2 events is sufficient**

${}^{243}\text{Am}({}^{48}\text{Ca}, xn){}^{291-xn}\text{Mc}$ **how many n evaporated?**

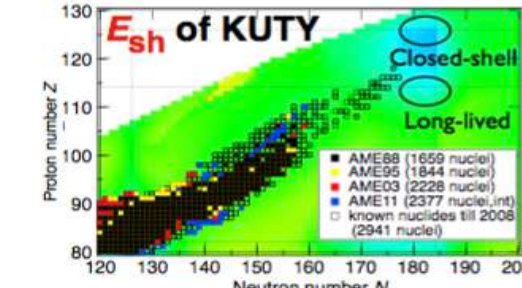
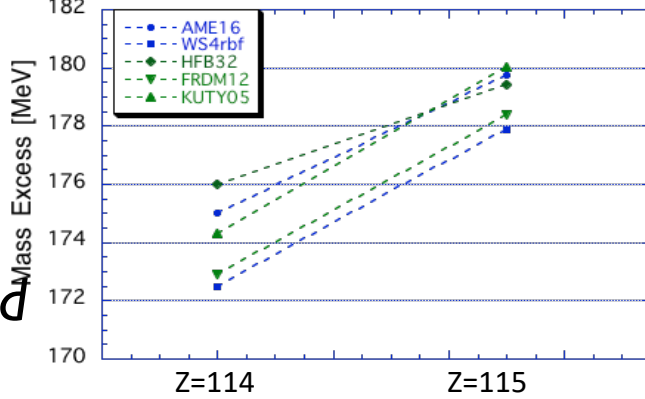
- Z-identification

${}^{243}\text{Am}({}^{48}\text{Ca}, 0p0\alpha,xn){}^{291-xn}\text{Mc}$
zero charged particle evaporated?

10 events is sufficient if theories are accurate



Predicted Mass Difference in A=288 isobars



Feasibility Impact

X-ray ?
chemistry ?

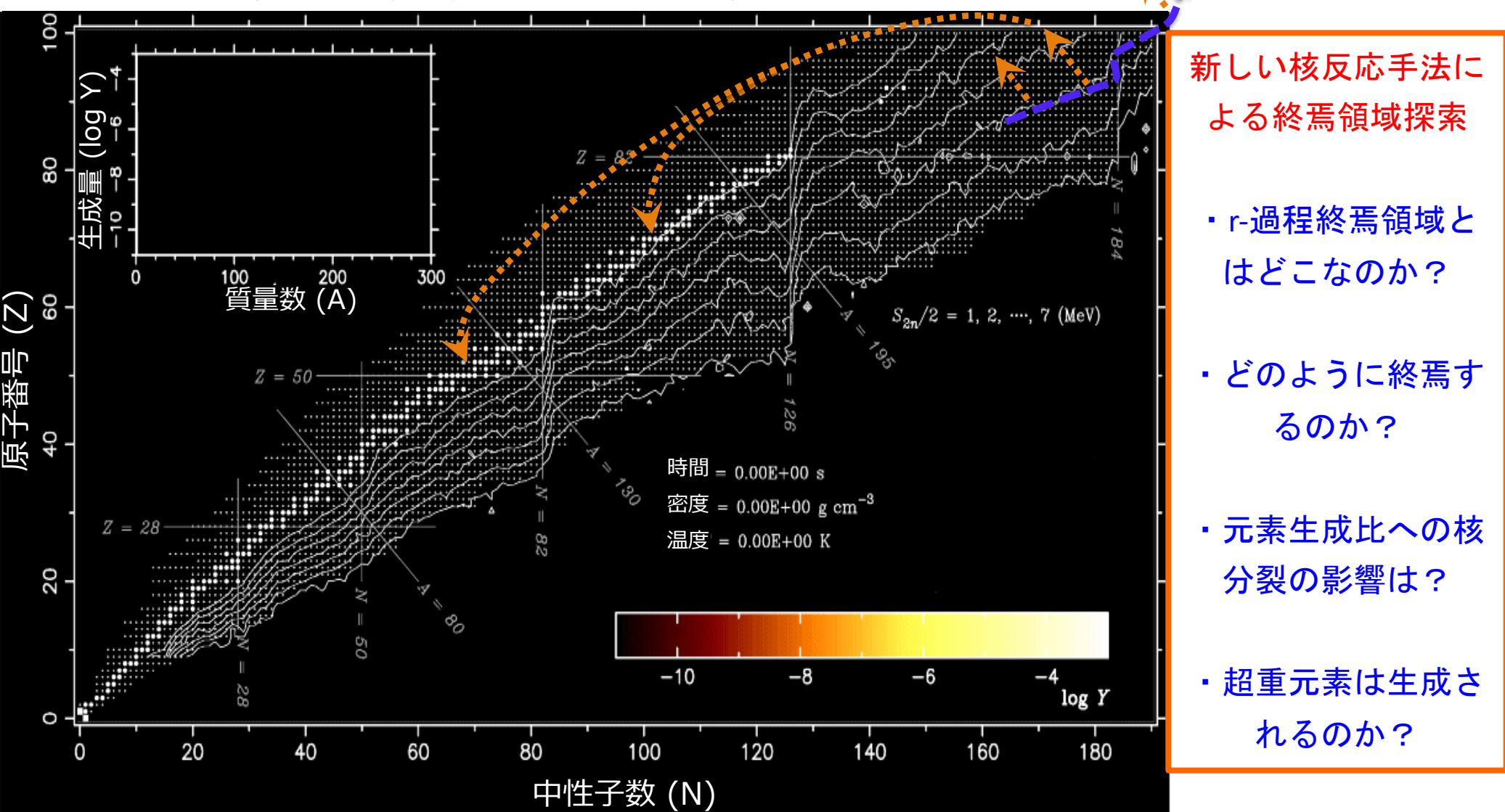
not accepted by JWP of IUPAC+IUPAP

but, they ask “Direct Physical Method
to identify Z as well as A”

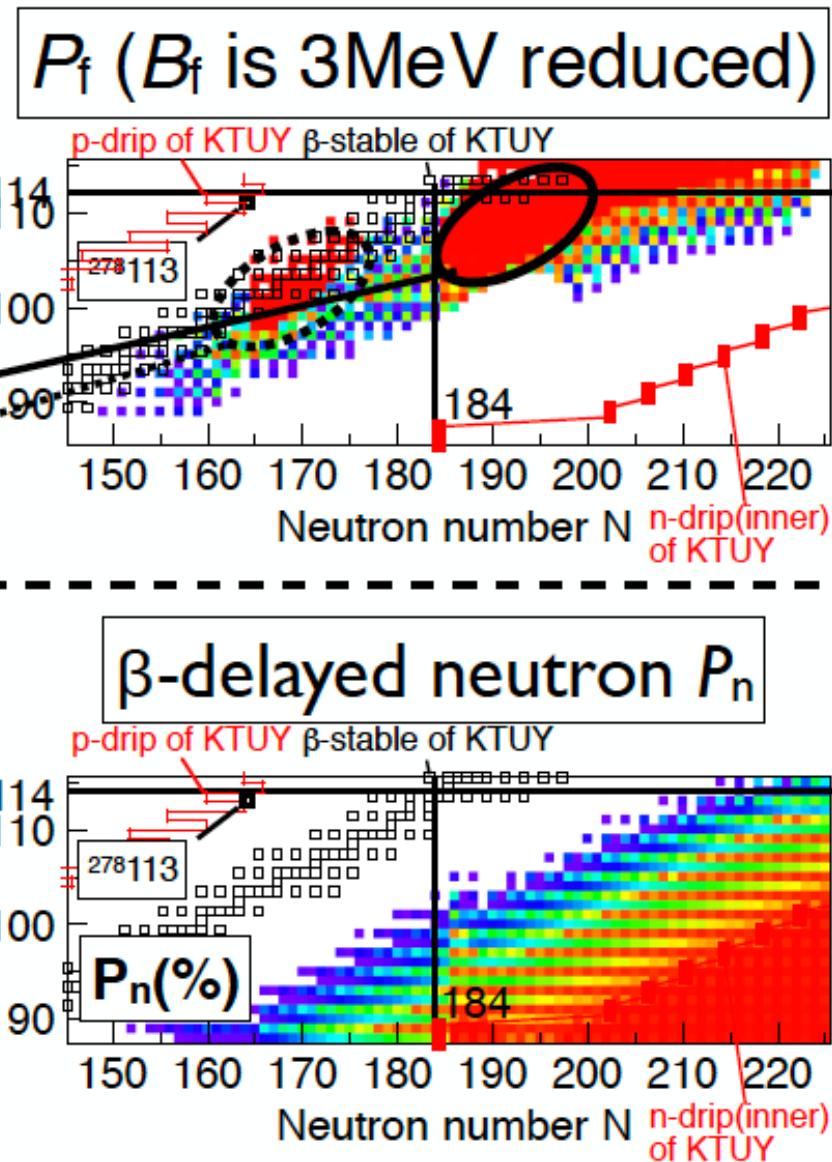
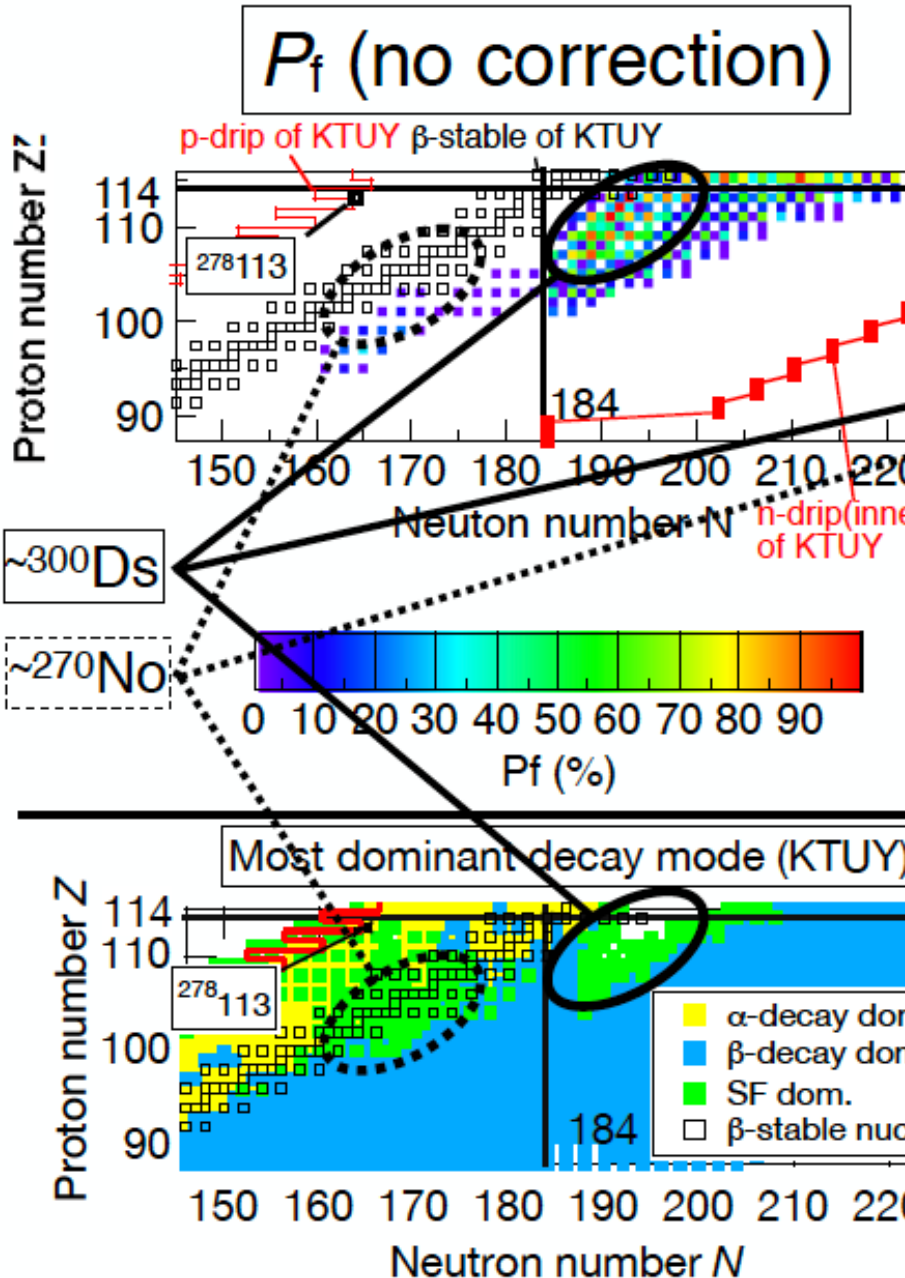
NSM赤道面(low Y_e): 核分裂リサイクル??



ガンマ線、電磁波、元素存在比パターンと比較



Results - β -delayed fission probability P_f



Courtesy of H. Koura@JAEA

Tachibana, Koura